

## بررسی سنگ‌شناسی و زمین‌شیمی عناصر فرعی و کمیاب (خاکی نادر) در کانه‌سازی طلای میاردان، بستان آباد، استان آذربایجان شرقی

فاطمه جهانگیریار<sup>\*</sup>، صمد علیپور<sup>۱</sup>، وارطان سیموونز<sup>۲</sup>، الکساندر توالچر لیدزه<sup>۳</sup>

۱- گروه علوم زمین، دانشگاه ارومیه، ایران

۲- گروه زمین‌شناسی اقتصادی، مرکز تحقیقات علوم پایه دانشگاه تبریز، تبریز، ایران

۳- گروه زمین‌شناسی اقتصادی، گرجستان

(دریافت مقاله: ۹۸/۱۱/۱۵، نسخه نهایی: ۹۹/۱۳/۱)

چکیده: منطقه کانی‌زایی طلای میاردان در ۱۵ کیلومتری غرب شهرستان بستان آباد در استان آذربایجان شرقی واقع است. واحدهای سنگی عمده منطقه شامل توف و گدازه‌های آندزیتی وابسته به ائوسن بوده که میزان کانی‌سازی رگه‌ای طلا هستند. کانی‌زایی طلا در درون سنگ‌های آندزیتی دگرسان، خرد شده و برشی شده به سن ائوسن در برخوردگاه با استوک دیوریت پورفیری شکل گرفته است. این سنگ‌ها توسط محلول‌های گرمابی دستخوش دگرسانی سیلیسی و سریسیتی شده و در اثر فرآیند دگرنهادی ناشی از تزریق توده نفوذی، به کوارتزیت و هورنفلس تبدیل شده‌اند. کانه‌سازی طلا در این واحدها به شکل پهنه‌های سیلیسی و رگه‌های کوارتزی دارای سولفیدی با راستا ۳۰۰ تا ۳۲۰ درجه شمال غربی و با شبک نزدیک به عمود صورت گرفته است. نمودارهای عنکبوتی عناصر خاکی نادر بهنجار شده نسبت به کندریت و گوشه‌ای اولیه نشان دهنده جدایش عناصر خاکی نادر سبک (LREE) از عناصر خاکی نادر سنگین (HREE) و غنی‌شدگی LREE ها و عناصر سنگ دوست یون (LILE) است. شاخص‌های زمین‌شیمیایی مانند Ti+Fe و Ce+Y+La-(Ba+Sr) نشان می‌دهند که محلول‌های گرمابی برونزاد نقش بسیار مهمی در گسترش پهنه‌های دگرسانی و کانی‌زایی در این منطقه داشته‌اند.

واژه‌های کلیدی: میاردان، طلای رگه‌ای، زمین‌شیمی، دگرسانی، عناصر خاکی نادر.

### مقدمه

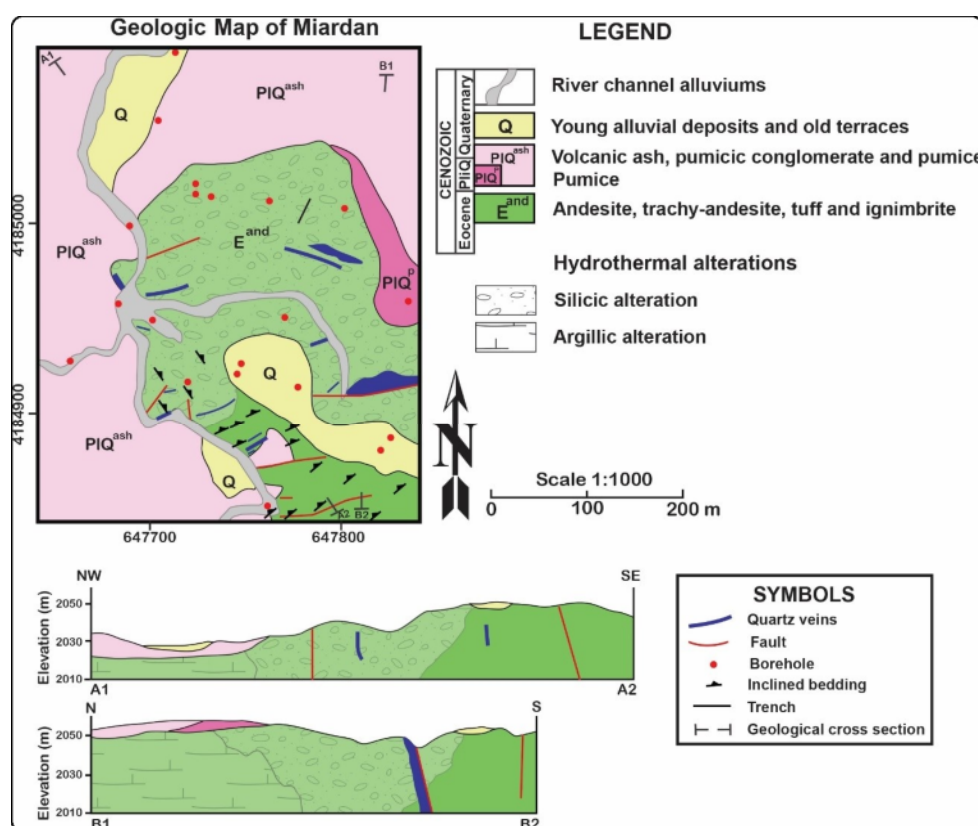
به سنگ، pH پایین و فراوانی هم‌بافت‌های یونی چون  $\text{Cl}^-$ ،  $\text{PO}_4^{3-}$ ،  $\text{F}^-$ ،  $\text{SO}_4^{2-}$ ،  $\text{CO}_3^{2-}$ ،  $\text{Ce}^{3+}$ ،  $\text{Eu}^{2+}$ ،  $\text{Eu}^{3+}$ ،  $\text{Ce}^{4+}$ ،  $\text{Ce}^{3+}$ ،  $\text{Eu}^{2+}$ ،  $\text{Eu}^{3+}$ ،  $\text{Ce}^{4+}$ ،  $\text{Ce}^{3+}$ ،  $\text{Ce}^{2+}$ ،  $\text{Ce}^{1+}$ ،  $\text{Ce}^{0+}$ ،  $\text{Ce}^{-1+}$ ،  $\text{Ce}^{-2+}$ ،  $\text{Ce}^{-3+}$ ،  $\text{Ce}^{-4+}$ ،  $\text{Ce}^{-5+}$ ،  $\text{Ce}^{-6+}$ ،  $\text{Ce}^{-7+}$ ،  $\text{Ce}^{-8+}$ ،  $\text{Ce}^{-9+}$ ،  $\text{Ce}^{-10+}$ ،  $\text{Ce}^{-11+}$ ،  $\text{Ce}^{-12+}$ ،  $\text{Ce}^{-13+}$ ،  $\text{Ce}^{-14+}$ ،  $\text{Ce}^{-15+}$ ،  $\text{Ce}^{-16+}$ ،  $\text{Ce}^{-17+}$ ،  $\text{Ce}^{-18+}$ ،  $\text{Ce}^{-19+}$ ،  $\text{Ce}^{-20+}$ ،  $\text{Ce}^{-21+}$ ،  $\text{Ce}^{-22+}$ ،  $\text{Ce}^{-23+}$ ،  $\text{Ce}^{-24+}$ ،  $\text{Ce}^{-25+}$ ،  $\text{Ce}^{-26+}$ ،  $\text{Ce}^{-27+}$ ،  $\text{Ce}^{-28+}$ ،  $\text{Ce}^{-29+}$ ،  $\text{Ce}^{-30+}$ ،  $\text{Ce}^{-31+}$ ،  $\text{Ce}^{-32+}$ ،  $\text{Ce}^{-33+}$ ،  $\text{Ce}^{-34+}$ ،  $\text{Ce}^{-35+}$ ،  $\text{Ce}^{-36+}$ ،  $\text{Ce}^{-37+}$ ،  $\text{Ce}^{-38+}$ ،  $\text{Ce}^{-39+}$ ،  $\text{Ce}^{-40+}$ ،  $\text{Ce}^{-41+}$ ،  $\text{Ce}^{-42+}$ ،  $\text{Ce}^{-43+}$ ،  $\text{Ce}^{-44+}$ ،  $\text{Ce}^{-45+}$ ،  $\text{Ce}^{-46+}$ ،  $\text{Ce}^{-47+}$ ،  $\text{Ce}^{-48+}$ ،  $\text{Ce}^{-49+}$ ،  $\text{Ce}^{-50+}$ ،  $\text{Ce}^{-51+}$ ،  $\text{Ce}^{-52+}$ ،  $\text{Ce}^{-53+}$ ،  $\text{Ce}^{-54+}$ ،  $\text{Ce}^{-55+}$ ،  $\text{Ce}^{-56+}$ ،  $\text{Ce}^{-57+}$ ،  $\text{Ce}^{-58+}$ ،  $\text{Ce}^{-59+}$ ،  $\text{Ce}^{-60+}$ ،  $\text{Ce}^{-61+}$ ،  $\text{Ce}^{-62+}$ ،  $\text{Ce}^{-63+}$ ،  $\text{Ce}^{-64+}$ ،  $\text{Ce}^{-65+}$ ،  $\text{Ce}^{-66+}$ ،  $\text{Ce}^{-67+}$ ،  $\text{Ce}^{-68+}$ ،  $\text{Ce}^{-69+}$ ،  $\text{Ce}^{-70+}$ ،  $\text{Ce}^{-71+}$ ،  $\text{Ce}^{-72+}$ ،  $\text{Ce}^{-73+}$ ،  $\text{Ce}^{-74+}$ ،  $\text{Ce}^{-75+}$ ،  $\text{Ce}^{-76+}$ ،  $\text{Ce}^{-77+}$ ،  $\text{Ce}^{-78+}$ ،  $\text{Ce}^{-79+}$ ،  $\text{Ce}^{-80+}$ ،  $\text{Ce}^{-81+}$ ،  $\text{Ce}^{-82+}$ ،  $\text{Ce}^{-83+}$ ،  $\text{Ce}^{-84+}$ ،  $\text{Ce}^{-85+}$ ،  $\text{Ce}^{-86+}$ ،  $\text{Ce}^{-87+}$ ،  $\text{Ce}^{-88+}$ ،  $\text{Ce}^{-89+}$ ،  $\text{Ce}^{-90+}$ ،  $\text{Ce}^{-91+}$ ،  $\text{Ce}^{-92+}$ ،  $\text{Ce}^{-93+}$ ،  $\text{Ce}^{-94+}$ ،  $\text{Ce}^{-95+}$ ،  $\text{Ce}^{-96+}$ ،  $\text{Ce}^{-97+}$ ،  $\text{Ce}^{-98+}$ ،  $\text{Ce}^{-99+}$ ،  $\text{Ce}^{-100+}$ ،  $\text{Ce}^{-101+}$ ،  $\text{Ce}^{-102+}$ ،  $\text{Ce}^{-103+}$ ،  $\text{Ce}^{-104+}$ ،  $\text{Ce}^{-105+}$ ،  $\text{Ce}^{-106+}$ ،  $\text{Ce}^{-107+}$ ،  $\text{Ce}^{-108+}$ ،  $\text{Ce}^{-109+}$ ،  $\text{Ce}^{-110+}$ ،  $\text{Ce}^{-111+}$ ،  $\text{Ce}^{-112+}$ ،  $\text{Ce}^{-113+}$ ،  $\text{Ce}^{-114+}$ ،  $\text{Ce}^{-115+}$ ،  $\text{Ce}^{-116+}$ ،  $\text{Ce}^{-117+}$ ،  $\text{Ce}^{-118+}$ ،  $\text{Ce}^{-119+}$ ،  $\text{Ce}^{-120+}$ ،  $\text{Ce}^{-121+}$ ،  $\text{Ce}^{-122+}$ ،  $\text{Ce}^{-123+}$ ،  $\text{Ce}^{-124+}$ ،  $\text{Ce}^{-125+}$ ،  $\text{Ce}^{-126+}$ ،  $\text{Ce}^{-127+}$ ،  $\text{Ce}^{-128+}$ ،  $\text{Ce}^{-129+}$ ،  $\text{Ce}^{-130+}$ ،  $\text{Ce}^{-131+}$ ،  $\text{Ce}^{-132+}$ ،  $\text{Ce}^{-133+}$ ،  $\text{Ce}^{-134+}$ ،  $\text{Ce}^{-135+}$ ،  $\text{Ce}^{-136+}$ ،  $\text{Ce}^{-137+}$ ،  $\text{Ce}^{-138+}$ ،  $\text{Ce}^{-139+}$ ،  $\text{Ce}^{-140+}$ ،  $\text{Ce}^{-141+}$ ،  $\text{Ce}^{-142+}$ ،  $\text{Ce}^{-143+}$ ،  $\text{Ce}^{-144+}$ ،  $\text{Ce}^{-145+}$ ،  $\text{Ce}^{-146+}$ ،  $\text{Ce}^{-147+}$ ،  $\text{Ce}^{-148+}$ ،  $\text{Ce}^{-149+}$ ،  $\text{Ce}^{-150+}$ ،  $\text{Ce}^{-151+}$ ،  $\text{Ce}^{-152+}$ ،  $\text{Ce}^{-153+}$ ،  $\text{Ce}^{-154+}$ ،  $\text{Ce}^{-155+}$ ،  $\text{Ce}^{-156+}$ ،  $\text{Ce}^{-157+}$ ،  $\text{Ce}^{-158+}$ ،  $\text{Ce}^{-159+}$ ،  $\text{Ce}^{-160+}$ ،  $\text{Ce}^{-161+}$ ،  $\text{Ce}^{-162+}$ ،  $\text{Ce}^{-163+}$ ،  $\text{Ce}^{-164+}$ ،  $\text{Ce}^{-165+}$ ،  $\text{Ce}^{-166+}$ ،  $\text{Ce}^{-167+}$ ،  $\text{Ce}^{-168+}$ ،  $\text{Ce}^{-169+}$ ،  $\text{Ce}^{-170+}$ ،  $\text{Ce}^{-171+}$ ،  $\text{Ce}^{-172+}$ ،  $\text{Ce}^{-173+}$ ،  $\text{Ce}^{-174+}$ ،  $\text{Ce}^{-175+}$ ،  $\text{Ce}^{-176+}$ ،  $\text{Ce}^{-177+}$ ،  $\text{Ce}^{-178+}$ ،  $\text{Ce}^{-179+}$ ،  $\text{Ce}^{-180+}$ ،  $\text{Ce}^{-181+}$ ،  $\text{Ce}^{-182+}$ ،  $\text{Ce}^{-183+}$ ،  $\text{Ce}^{-184+}$ ،  $\text{Ce}^{-185+}$ ،  $\text{Ce}^{-186+}$ ،  $\text{Ce}^{-187+}$ ،  $\text{Ce}^{-188+}$ ،  $\text{Ce}^{-189+}$ ،  $\text{Ce}^{-190+}$ ،  $\text{Ce}^{-191+}$ ،  $\text{Ce}^{-192+}$ ،  $\text{Ce}^{-193+}$ ،  $\text{Ce}^{-194+}$ ،  $\text{Ce}^{-195+}$ ،  $\text{Ce}^{-196+}$ ،  $\text{Ce}^{-197+}$ ،  $\text{Ce}^{-198+}$ ،  $\text{Ce}^{-199+}$ ،  $\text{Ce}^{-200+}$ ،  $\text{Ce}^{-201+}$ ،  $\text{Ce}^{-202+}$ ،  $\text{Ce}^{-203+}$ ،  $\text{Ce}^{-204+}$ ،  $\text{Ce}^{-205+}$ ،  $\text{Ce}^{-206+}$ ،  $\text{Ce}^{-207+}$ ،  $\text{Ce}^{-208+}$ ،  $\text{Ce}^{-209+}$ ،  $\text{Ce}^{-210+}$ ،  $\text{Ce}^{-211+}$ ،  $\text{Ce}^{-212+}$ ،  $\text{Ce}^{-213+}$ ،  $\text{Ce}^{-214+}$ ،  $\text{Ce}^{-215+}$ ،  $\text{Ce}^{-216+}$ ،  $\text{Ce}^{-217+}$ ،  $\text{Ce}^{-218+}$ ،  $\text{Ce}^{-219+}$ ،  $\text{Ce}^{-220+}$ ،  $\text{Ce}^{-221+}$ ،  $\text{Ce}^{-222+}$ ،  $\text{Ce}^{-223+}$ ،  $\text{Ce}^{-224+}$ ،  $\text{Ce}^{-225+}$ ،  $\text{Ce}^{-226+}$ ،  $\text{Ce}^{-227+}$ ،  $\text{Ce}^{-228+}$ ،  $\text{Ce}^{-229+}$ ،  $\text{Ce}^{-230+}$ ،  $\text{Ce}^{-231+}$ ،  $\text{Ce}^{-232+}$ ،  $\text{Ce}^{-233+}$ ،  $\text{Ce}^{-234+}$ ،  $\text{Ce}^{-235+}$ ،  $\text{Ce}^{-236+}$ ،  $\text{Ce}^{-237+}$ ،  $\text{Ce}^{-238+}$ ،  $\text{Ce}^{-239+}$ ،  $\text{Ce}^{-240+}$ ،  $\text{Ce}^{-241+}$ ،  $\text{Ce}^{-242+}$ ،  $\text{Ce}^{-243+}$ ،  $\text{Ce}^{-244+}$ ،  $\text{Ce}^{-245+}$ ،  $\text{Ce}^{-246+}$ ،  $\text{Ce}^{-247+}$ ،  $\text{Ce}^{-248+}$ ،  $\text{Ce}^{-249+}$ ،  $\text{Ce}^{-250+}$ ،  $\text{Ce}^{-251+}$ ،  $\text{Ce}^{-252+}$ ،  $\text{Ce}^{-253+}$ ،  $\text{Ce}^{-254+}$ ،  $\text{Ce}^{-255+}$ ،  $\text{Ce}^{-256+}$ ،  $\text{Ce}^{-257+}$ ،  $\text{Ce}^{-258+}$ ،  $\text{Ce}^{-259+}$ ،  $\text{Ce}^{-260+}$ ،  $\text{Ce}^{-261+}$ ،  $\text{Ce}^{-262+}$ ،  $\text{Ce}^{-263+}$ ،  $\text{Ce}^{-264+}$ ،  $\text{Ce}^{-265+}$ ،  $\text{Ce}^{-266+}$ ،  $\text{Ce}^{-267+}$ ،  $\text{Ce}^{-268+}$ ،  $\text{Ce}^{-269+}$ ،  $\text{Ce}^{-270+}$ ،  $\text{Ce}^{-271+}$ ،  $\text{Ce}^{-272+}$ ،  $\text{Ce}^{-273+}$ ،  $\text{Ce}^{-274+}$ ،  $\text{Ce}^{-275+}$ ،  $\text{Ce}^{-276+}$ ،  $\text{Ce}^{-277+}$ ،  $\text{Ce}^{-278+}$ ،  $\text{Ce}^{-279+}$ ،  $\text{Ce}^{-280+}$ ،  $\text{Ce}^{-281+}$ ،  $\text{Ce}^{-282+}$ ،  $\text{Ce}^{-283+}$ ،  $\text{Ce}^{-284+}$ ،  $\text{Ce}^{-285+}$ ،  $\text{Ce}^{-286+}$ ،  $\text{Ce}^{-287+}$ ،  $\text{Ce}^{-288+}$ ،  $\text{Ce}^{-289+}$ ،  $\text{Ce}^{-290+}$ ،  $\text{Ce}^{-291+}$ ،  $\text{Ce}^{-292+}$ ،  $\text{Ce}^{-293+}$ ،  $\text{Ce}^{-294+}$ ،  $\text{Ce}^{-295+}$ ،  $\text{Ce}^{-296+}$ ،  $\text{Ce}^{-297+}$ ،  $\text{Ce}^{-298+}$ ،  $\text{Ce}^{-299+}$ ،  $\text{Ce}^{-300+}$ ،  $\text{Ce}^{-301+}$ ،  $\text{Ce}^{-302+}$ ،  $\text{Ce}^{-303+}$ ،  $\text{Ce}^{-304+}$ ،  $\text{Ce}^{-305+}$ ،  $\text{Ce}^{-306+}$ ،  $\text{Ce}^{-307+}$ ،  $\text{Ce}^{-308+}$ ،  $\text{Ce}^{-309+}$ ،  $\text{Ce}^{-310+}$ ،  $\text{Ce}^{-311+}$ ،  $\text{Ce}^{-312+}$ ،  $\text{Ce}^{-313+}$ ،  $\text{Ce}^{-314+}$ ،  $\text{Ce}^{-315+}$ ،  $\text{Ce}^{-316+}$ ،  $\text{Ce}^{-317+}$ ،  $\text{Ce}^{-318+}$ ،  $\text{Ce}^{-319+}$ ،  $\text{Ce}^{-320+}$ ،  $\text{Ce}^{-321+}$ ،  $\text{Ce}^{-322+}$ ،  $\text{Ce}^{-323+}$ ،  $\text{Ce}^{-324+}$ ،  $\text{Ce}^{-325+}$ ،  $\text{Ce}^{-326+}$ ،  $\text{Ce}^{-327+}$ ،  $\text{Ce}^{-328+}$ ،  $\text{Ce}^{-329+}$ ،  $\text{Ce}^{-330+}$ ،  $\text{Ce}^{-331+}$ ،  $\text{Ce}^{-332+}$ ،  $\text{Ce}^{-333+}$ ،  $\text{Ce}^{-334+}$ ،  $\text{Ce}^{-335+}$ ،  $\text{Ce}^{-336+}$ ،  $\text{Ce}^{-337+}$ ،  $\text{Ce}^{-338+}$ ،  $\text{Ce}^{-339+}$ ،  $\text{Ce}^{-340+}$ ،  $\text{Ce}^{-341+}$ ،  $\text{Ce}^{-342+}$ ،  $\text{Ce}^{-343+}$ ،  $\text{Ce}^{-344+}$ ،  $\text{Ce}^{-345+}$ ،  $\text{Ce}^{-346+}$ ،  $\text{Ce}^{-347+}$ ،  $\text{Ce}^{-348+}$ ،  $\text{Ce}^{-349+}$ ،  $\text{Ce}^{-350+}$ ،  $\text{Ce}^{-351+}$ ،  $\text{Ce}^{-352+}$ ،  $\text{Ce}^{-353+}$ ،  $\text{Ce}^{-354+}$ ،  $\text{Ce}^{-355+}$ ،  $\text{Ce}^{-356+}$ ،  $\text{Ce}^{-357+}$ ،  $\text{Ce}^{-358+}$ ،  $\text{Ce}^{-359+}$ ،  $\text{Ce}^{-360+}$ ،  $\text{Ce}^{-361+}$ ،  $\text{Ce}^{-362+}$ ،  $\text{Ce}^{-363+}$ ،  $\text{Ce}^{-364+}$ ،  $\text{Ce}^{-365+}$ ،  $\text{Ce}^{-366+}$ ،  $\text{Ce}^{-367+}$ ،  $\text{Ce}^{-368+}$ ،  $\text{Ce}^{-369+}$ ،  $\text{Ce}^{-370+}$ ،  $\text{Ce}^{-371+}$ ،  $\text{Ce}^{-372+}$ ،  $\text{Ce}^{-373+}$ ،  $\text{Ce}^{-374+}$ ،  $\text{Ce}^{-375+}$ ،  $\text{Ce}^{-376+}$ ،  $\text{Ce}^{-377+}$ ،  $\text{Ce}^{-378+}$ ،  $\text{Ce}^{-379+}$ ،  $\text{Ce}^{-380+}$ ،  $\text{Ce}^{-381+}$ ،  $\text{Ce}^{-382+}$ ،  $\text{Ce}^{-383+}$ ،  $\text{Ce}^{-384+}$ ،  $\text{Ce}^{-385+}$ ،  $\text{Ce}^{-386+}$ ،  $\text{Ce}^{-387+}$ ،  $\text{Ce}^{-388+}$ ،  $\text{Ce}^{-389+}$ ،  $\text{Ce}^{-390+}$ ،  $\text{Ce}^{-391+}$ ،  $\text{Ce}^{-392+}$ ،  $\text{Ce}^{-393+}$ ،  $\text{Ce}^{-394+}$ ،  $\text{Ce}^{-395+}$ ،  $\text{Ce}^{-396+}$ ،  $\text{Ce}^{-397+}$ ،  $\text{Ce}^{-398+}$ ،  $\text{Ce}^{-399+}$ ،  $\text{Ce}^{-400+}$ ،  $\text{Ce}^{-401+}$ ،  $\text{Ce}^{-402+}$ ،  $\text{Ce}^{-403+}$ ،  $\text{Ce}^{-404+}$ ،  $\text{Ce}^{-405+}$ ،  $\text{Ce}^{-406+}$ ،  $\text{Ce}^{-407+}$ ،  $\text{Ce}^{-408+}$ ،  $\text{Ce}^{-409+}$ ،  $\text{Ce}^{-410+}$ ،  $\text{Ce}^{-411+}$ ،  $\text{Ce}^{-412+}$ ،  $\text{Ce}^{-413+}$ ،  $\text{Ce}^{-414+}$ ،  $\text{Ce}^{-415+}$ ،  $\text{Ce}^{-416+}$ ،  $\text{Ce}^{-417+}$ ،  $\text{Ce}^{-418+}$ ،  $\text{Ce}^{-419+}$ ،  $\text{Ce}^{-420+}$ ،  $\text{Ce}^{-421+}$ ،  $\text{Ce}^{-422+}$ ،  $\text{Ce}^{-423+}$ ،  $\text{Ce}^{-424+}$ ،  $\text{Ce}^{-425+}$ ،  $\text{Ce}^{-426+}$ ،  $\text{Ce}^{-427+}$ ،  $\text{Ce}^{-428+}$ ،  $\text{Ce}^{-429+}$ ،  $\text{Ce}^{-430+}$ ،  $\text{Ce}^{-431+}$ ،  $\text{Ce}^{-432+}$ ،  $\text{Ce}^{-433+}$ ،  $\text{Ce}^{-434+}$ ،  $\text{Ce}^{-435+}$ ،  $\text{Ce}^{-436+}$ ،  $\text{Ce}^{-437+}$ ،  $\text{Ce}^{-438+}$ ،  $\text{Ce}^{-439+}$ ،  $\text{Ce}^{-440+}$ ،  $\text{Ce}^{-441+}$ ،  $\text{Ce}^{-442+}$ ،  $\text{Ce}^{-443+}$ ،  $\text{Ce}^{-444+}$ ،  $\text{Ce}^{-445+}$ ،  $\text{Ce}^{-446+}$ ،  $\text{Ce}^{-447+}$ ،  $\text{Ce}^{-448+}$ ،  $\text{Ce}^{-449+}$ ،  $\text{Ce}^{-450+}$ ،  $\text{Ce}^{-451+}$ ،  $\text{Ce}^{-452+}$ ،  $\text{Ce}^{-453+}$ ،  $\text{Ce}^{-454+}$ ،  $\text{Ce}^{-455+}$ ،  $\text{Ce}^{-456+}$ ،  $\text{Ce}^{-457+}$ ،  $\text{Ce}^{-458+}$ ،  $\text{Ce}^{-459+}$ ،  $\text{Ce}^{-460+}$ ،  $\text{Ce}^{-461+}$ ،  $\text{Ce}^{-462+}$ ،  $\text{Ce}^{-463+}$ ،  $\text{Ce}^{-464+}$ ،  $\text{Ce}^{-465+}$ ،  $\text{Ce}^{-466+}$ ،  $\text{Ce}^{-467+}$ ،  $\text{Ce}^{-468+}$ ،  $\text{Ce}^{-469+}$ ،  $\text{Ce}^{-470+}$ ،  $\text{Ce}^{-471+}$ ،  $\text{Ce}^{-472+}$ ،  $\text{Ce}^{-473+}$ ،  $\text{Ce}^{-474+}$ ،  $\text{Ce}^{-475+}$ ،  $\text{Ce}^{-476+}$ ،  $\text{Ce}^{-477+}$ ،  $\text{Ce}^{-478+}$ ،  $\text{Ce}^{-479+}$ ،  $\text{Ce}^{-480+}$ ،  $\text{Ce}^{-481+}$ ،  $\text{Ce}^{-482+}$ ،  $\text{Ce}^{-483+}$ ،  $\text{Ce}^{-484+}$ ،  $\text{Ce}^{-485+}$ ،  $\text{Ce}^{-486+}$ ،  $\text{Ce}^{-487+}$ ،  $\text{Ce}^{-488+}$ ،  $\text{Ce}^{-489+}$ ،  $\text{Ce}^{-490+}$ ،  $\text{Ce}^{-491+}$ ،  $\text{Ce}^{-492+}$ ،  $\text{Ce}^{-493+}$ ،  $\text{Ce}^{-494+}$ ،  $\text{Ce}^{-495+}$ ،  $\text{Ce}^{-496+}$ ،  $\text{Ce}^{-497+}$ ،  $\text{Ce}^{-498+}$ ،  $\text{Ce}^{-499+}$ ،  $\text{Ce}^{-500+}$ ،  $\text{Ce}^{-501+}$ ،  $\text{Ce}^{-502+}$ ،  $\text{Ce}^{-503+}$ ،  $\text{Ce}^{-504+}$ ،  $\text{Ce}^{-505+}$ ،  $\text{Ce}^{-506+}$ ،  $\text{Ce}^{-507+}$ ،  $\text{Ce}^{-508+}$ ،  $\text{Ce}^{-509+}$ ،  $\text{Ce}^{-510+}$ ،  $\text{Ce}^{-511+}$ ،  $\text{Ce}^{-512+}$ ،  $\text{Ce}^{-513+}$ ،  $\text{Ce}^{-514+}$ ،  $\text{Ce}^{-515+}$ ،  $\text{Ce}^{-516+}$ ،  $\text{Ce}^{-517+}$ ،  $\text{Ce}^{-518+}$ ،  $\text{Ce}^{-519+}$ ،  $\text{Ce}^{-520+}$ ،  $\text{Ce}^{-521+}$ ،  $\text{Ce}^{-522+}$ ،  $\text{Ce}^{-523+}$ ،  $\text{Ce}^{-524+}$ ،  $\text{Ce}^{-525+}$ ،  $\text{Ce}^{-526+}$ ،  $\text{Ce}^{-527+}$ ،  $\text{Ce}^{-528+}$ ،  $\text{Ce}^{-529+}$ ،  $\text{Ce}^{-530+}$ ،  $\text{Ce}^{-531+}$ ،  $\text{Ce}^{-532+}$ ،  $\text{Ce}^{-533+}$ ،  $\text{Ce}^{-534+}$ ،  $\text{Ce}^{-535+}$ ،  $\text{Ce}^{-536+}$ ،  $\text{Ce}^{-537+}$ ،  $\text{Ce}^{-538+}$ ،  $\text{Ce}^{-539+}$ ،  $\text{Ce}^{-540+}$ ،  $\text{Ce}^{-541+}$ ،  $\text{Ce}^{-542+}$ ،  $\text{Ce}^{-543+}$ ،  $\text{Ce}^{-544+}$ ،  $\text{Ce}^{-545+}$ ،  $\text{Ce}^{-546+}$ ،  $\text{Ce}^{-547+}$ ،  $\text{Ce}^{-548+}$ ،  $\text{Ce}^{-549+}$ ،  $\text{Ce}^{-550+}$ ،  $\text{Ce}^{-551+}$ ،  $\text{Ce}^{-552+}$ ،  $\text{Ce}^{-553+}$ ،  $\text{Ce}^{-554+}$ ،  $\text{Ce}^{-555+}$ ،  $\text{Ce}^{-556+}$ ،  $\text{Ce}^{-557+}$ ،  $\text{Ce}^{-558+}$ ،  $\text{Ce}^{-559+}$ ،  $\text{Ce}^{-560+}$ ،  $\text{Ce}^{-561+}$ ،  $\text{Ce}^{-562+}$ ،  $\text{Ce}^{-563+}$ ،  $\text{Ce}^{-564+}$ ،  $\text{Ce}^{-565+}$ ،  $\text{Ce}^{-566+}$ ،  $\text{Ce}^{-567+}$ ،  $\text{Ce}^{-568+}$ ،  $\text{Ce}^{-569+}$ ،  $\text{Ce}^{-570+}$ ،  $\text{Ce}^{-571+}$ ،  $\text{Ce}^{-572+}$ ،  $\text{Ce}^{-573+}$ ،  $\text{Ce}^{-574+}$ ،  $\text{Ce}^{-575+}$ ،  $\text{Ce}^{-576+}$ ،  $\text{Ce}^{-577+}$ ،  $\text{Ce}^{-578+}$ ،  $\text{Ce}^{-579+}$ ،  $\text{Ce}^{-580+}$ ،  $\text{Ce}^{-581+}$ ،  $\text{Ce}^{-582+}$ ،  $\text{Ce}^{-583+}$ ،  $\text{Ce}^{-584+}$ ،  $\text{Ce}^{-585+}$ ،  $\text{Ce}^{-586+}$ ،  $\text{Ce}^{-587+}$ ،  $\text{Ce}^{-588+}$ ،  $\text{Ce}^{-589+}$ ،  $\text{Ce}^{-590+}$ ،  $\text{Ce}^{-591+}$ ،  $\text{Ce}^{-592+}$ ،  $\text{Ce}^{-593+}$ ،  $\text{Ce}^{-594+}$ ،  $\text{Ce}^{-595$

و گدازه با تناوبی از توفهای خرد شده، توف ماسه‌ای و گدازه‌های آندزیتی به رنگ خاکستری و سبز تیره ( $E^{\text{tv}}$ ) قدیمی‌ترین سنگ‌های ائوسن هستند که در ۲۰ کیلومتری جنوب شرق منطقه مورد بررسی رخنمون دارند. بر روی این واحد، سنگ‌های آتشفشاری پورفیری همراه با کمی توف قرار دارند ( $E^{\text{lt}}$ ) که خود توسط واحد توف و ایگنیمبریت ( $E^{\text{lt}}$ ) پوشیده شده‌اند. این سنگ‌ها ریزدانه هستند و بیشتر در مرکز منطقه دیده می‌شوند. کانه‌سازی بیشتر درون واحد ائوسن رخ داده است. توده‌های نفوذی گرانیتی، کوارتز‌زمونزونیتی، گرانو‌دیوریتی، سنگ‌های داسیتی و رویداسیتی با رنگ روشن به شکل گنبد و سیل ( $OM^{\text{d}}$ ) و دایک‌های گرانیتی منسوب به الیگوسن درون واحدهای قدیمی تزریق شده‌اند (شکل ۱). وجود تعدادی گسل پیرامون محل کانسار این نظریه را توجیه می‌کند که محلول‌های گرمابی برآمده از توده گرانیتی پنهان در نزدیک روستای خاتون آباد و میارдан باعث کانه‌سازی در منطقه شده‌اند. واحدهای آهکی سازند قم و واحدهای گچ‌دار مارنی، لای سنگ، ماسه سنگ و کنگلومرا به سن میوسن در شمال شرق منطقه مورد بررسی رخنمون دارند ( $M^{\text{lm}}, M_2^{\text{sm}}, M^{\text{sm}}$ : شکل ۱).

در نظر گرفتن سایر عوامل کننده توزیع عناصر خاکی نادر، راهنمای خوبی برای درک شرایط فیزیکوشیمیایی سیال گرمابی مسئول دگرسانی و محیط دگرسانی محسوب می‌شود [۹,۸]. منطقه مورد بررسی در میاردان به صورت یک پهنه کانه‌زایی شده به گسترش تقریبی ۲۴۱ کیلومتر مربع با مختصات جغرافیایی  $37^{\circ} ۴۶' \text{ طول شرقی و } ۳۷^{\circ} ۴۹'$  تا  $38^{\circ} ۴۶'$  عرض شمالی است و بخشی از ورقه زمین‌شناسی ۱:۱۰۰۰۰۰ بستان آباد را تشکیل می‌دهد. از نظر تقسیم بندی‌های ساختاری، این منطقه بخشی از ایران مرکزی و کمربند ارومیه - دختر محسوب می‌شود [۱۰].

#### زمین‌شناسی منطقه مورد بررسی

پی‌سنگ منطقه مورد بررسی را واحدهای به سن کرتاسه پسین می‌سازند. این واحدها تناوبی از سنگ‌های آتشفشاری سرپانتینی و کلریتی شده بازالتی، توف بازی، گابرو و واحدهای آهک مارنی نازک لایه، ماسه سنگ، کنگلومرا و شیل هستند که مرز گسله با هم دارند. روی این سنگ‌ها، واحدهای منسوب به ائوسن به صورت ناپیوسته قرار دارند. ترکیب کلی این واحدها بیشتر آتشفشاری و آذرآواری است. سنگ‌های آذرآواری



شکل ۱ نقشه زمین‌شناسی منطقه مورد بررسی (میاردان، بستان آباد) با مقیاس ۱:۱۰۰۰۰.

شناسایی شده است و تصور می‌شود که در ارتباط با گسل‌های کوچک و شکستگی‌های قدیمی باشد که طی چندین مرحله فعال شده‌اند. این منطقه بیشتر بصورت برشی شده و تیره رنگ و ناشی از پوشش سطحی شامل اکسیدهای آهن‌آبدار بوده و نشانگ اکسایش کانی‌های سولفیدی اولیه است. در این منطقه، سنگ‌های آندزیتی توسط تعداد بسیاری رگه و رگچه‌های کوارتزی سولفیددار در بردارنده طلا قطع شده‌اند (شکل ۲ الف). این رگه‌ها به طور ناهمگن در گدازه‌های آندزیتی و توف‌های برشی توزیع شده‌اند. ضخامت رگه‌ها ۲۰ سانتی متر تا ۲ متر است. کوارتز همچنین بصورت رگچه‌های میلیمتری تا چند سانتیمتری دیده می‌شود. بافت برشی و تنش آواری در این رگه‌ها دیده شده و گاه قطعه‌هایی از سنگ دیواره توفی به صورت خرد شده در این رگه- رگچه‌ها یافت می‌شوند. از نظر مشخصه‌های ظاهری و همبازایی، دو گروه رگه- رگچه در این منطقه قابل شناسایی هستند: رگه- رگچه‌های کوارتزی شیری و سفید رنگ که اغلب دارای پیریت هستند و رگه رگچه‌های کوارتزی خاکستری رنگ که در دیواره، لایه نازکی از کانه‌های سولفیدی (پیریت، کالکوپیریت، اسفالریت و گالن) وجود دارد که عامل ایجاد رنگ خاکستری در آنهاست (شکل ۲ ب). کانه‌های باطله در این رگه- رگچه‌ها، کوارتز و به مقدار کمتر باریت بوده و کانه‌های سولفیدی شامل گالن، پیریت، اسفالریت و کالکوپیریت هستند. با توجه به حضور سه نوع کانی متفاوت در این رگه‌ها که از نوع اکسیدی، سولفیدی و سولفاتی هستند، دو فاز تبلور کانیایی را می‌توان برای رگه- رگچه‌های کوارتزی در نظر گرفت. فاز اکسیدی همایت در آغاز مراحل کانی‌سازی به دلیل بالا بودن گریزندگی اکسیژن، از سیال جدا شده و به صورت کانی اکسیدی دیده می‌شود. فاز دوم که با فراوانی کانی سولفیدی مشخص می‌شود نشان‌دهنده کاهش گریزندگی اکسیژن سیال و بالا رفتن گریزندگی گوگرد طی تبلور این کانی هاست. فاز آخر مرحله تهنشست کانی باریت است که به صورت فاز سولفاتی در رگه- رگچه‌های کوارتزی دیده می‌شود. افرون بر رگه‌های کوارتز، در سنگ‌های دگرسان و برش‌ها طلا نیز یافت می‌شود (شکل ۲ ب). بررسی‌های میکروسکوپی نشان می‌دهد که سنگ‌های آندزیتی و تراکی آندزیتی در ارتباط با پهنه‌های دگرسانی شامل بلورهای درشت پلاژیوکلاز شکلدار (فراوان‌ترین کانی در سنگ ۴۰-۳۰٪) و آمفیبول بیشتر از نوع هورنبلند (۲۰-۱۰٪) هستند که کانی‌های ثانویه کلریت و سریسیت کاملا جانشین کانی هورنبلند شده‌اند. همچنین، کوارتز ثانویه (۱۰-۱۲٪) در متن سنگ تشکیل شده و کل سنگ پرلیتی شده است (شکل ۳).

رسوب‌های پلیوسن بیشتر از نوع کنگلومرای سست هستند. این واحد دارای رنگ روشن بوده و با داشتن قطعه‌های گرد شده و زمینه گلی، مشخصه منطقه کم عمق به سن پلیوستوسن است. ترکیب خرد سنگ‌های آن بیشتر ریوداسیتی است و بیش از ۵۰٪ منطقه مورد بررسی را می‌پوشاند و پس از کانه‌سازی بر سنگ‌های ائوسن نهشته شده است ( $PI^{vc}2^c$ ,  $PI^{vc}1^c$ ). دهانه‌های آتشفشاری با ترکیب اسیدی (داسیت و داسیت آندزیت) مربوط به آتشفشار سهند ( $PI_2^d$ ) در منطقه مورد بررسی رخنمون دارند (شکل ۱). رسوب‌های کواترنری به شکل رسوب‌های کوهپایه‌ای و پادگانه‌های قدیمی و رسوب‌های آبراهه‌ای جوانترین واحدهای منطقه مورد بررسی را تشکیل می‌دهند ( $Q^{la}$ ,  $Q^{tl}$ ,  $Q^{al}$ ).

### روش بررسی

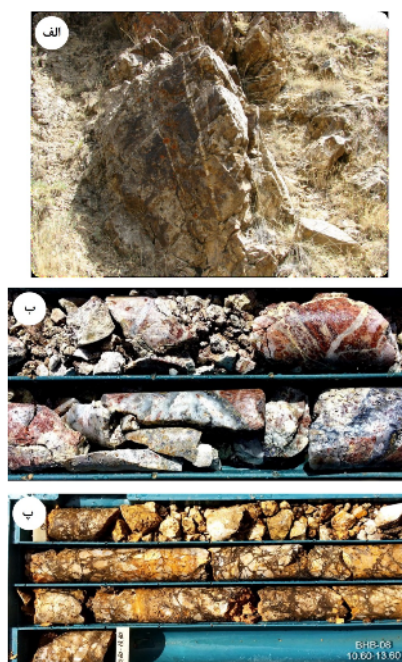
بررسی‌ها در این پژوهش در دو بخش صحرایی و آزمایشگاهی انجام شده است. در بخش صحرایی، به منظور ارزیابی و تفکیک واحدهای سنگی منطقه و پهنه‌های دگرسانی، از منطقه بازدید شد. پس از شناسایی پهنه‌های دگرسانی، نمونه‌برداری اصولی از آنها به سمت سنگ میزبان کمتر دگرسان شده انجام شد. تعداد ۳۱ مقطع نازک و صیقلی از نمونه‌های مربوط به پهنه‌های دگرسان و سنگ میزبان تهیه شد و مورد بررسی‌های سنگ- نگاری و کانه‌نگاری قرار گرفت. برای تعیین فازهای کانیایی غیر قابل تشخیص در پهنه‌های دگرسانی، ۵ نمونه با پراش سنج پرتوی X (XRD) در مرکز تحقیقات فرآوری مواد معدنی ایران بررسی شدند. برای بررسی ویژگی‌های زمین‌شیمیایی و تعیین مقادیر عناصر اصلی، فرعی و کمیاب تعداد ۳۵ نمونه به روش طیفسنجی جرمی پلاسمای جفت شده القابی (ICP-MS) در آزمایشگاه زرآزمای تهران تعزیز شیمیایی شدند. در این روش، بر اثر تابش پرتوی لیزری متتمرکز بر سطح نمونه، ماده از سطح نمونه جدا و تبخیر می‌شود. در مرحله بعد، نمونه برای اتمیزه شدن و یونش به درون پلاسما انتقال می‌یابد. در این دستگاه نمونه بر یک صفحه متحرک درون محفظه قرار داده می‌شود تا در جایگاه درست نسبت به پرتوی لیزری ثابت شده قرار گیرد.

### بحث و بررسی کانه‌زایی و سنگ‌شناسی

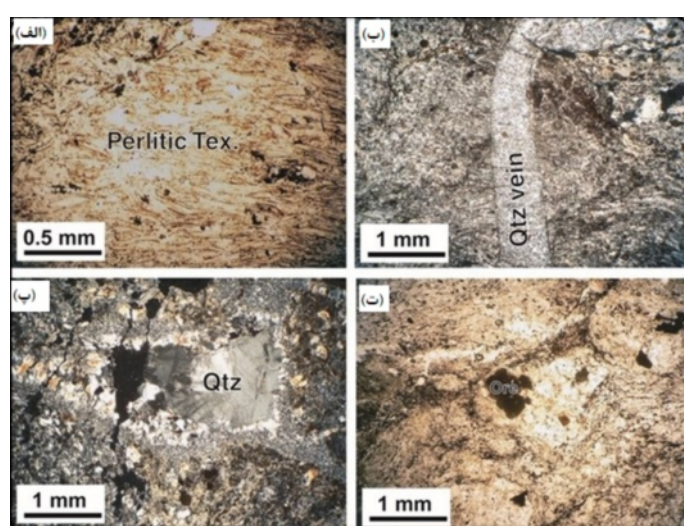
کانه‌زایی طلا در منطقه بستان‌آباد در سنگ‌های آندزیتی دگرسان، خرد و برشی شده ائوسن در برخوردگاه با استوک دیوریت پورفیری شکل گرفته است. برخوردگاه این واحدها، پهنه‌های خرد شده با شب ۴۰ تا ۶۵ درجه به سمت جنوب غرب است. کانسنگ طلادار در سنگ‌های میزبان با شب تقریباً عمودی گسترش یافته و توسط گمانه‌های با عمق ۲۰۰ متری

و فضاهای خالی بیشتر توسط کلریت و کوارتز بسبلوری و به مقدار جزئی با زئولیت پر شده‌اند. همچنین، این سنگ‌ها بشدت کربناتی شده‌اند (شکل ۵). لایه‌های پومیس مرز نمایانی با آندزیت‌ها و توفها دارند و با داشتن اجزای پومیسی و ماده زمینه خود متمایز می‌شوند. واحد کنگلومرا ای با سن پلیستوسن، سنگ‌های اوسن را می‌پوشاند. اجزای کنگلومرا از قطعه‌های بزرگ آندزیتی و ریوداسیتی، توف لاپیلی، قطعه‌های پومیس و خاکستر ریزدانه آتشفسانی تشکیل شده‌اند (شکل ۶).

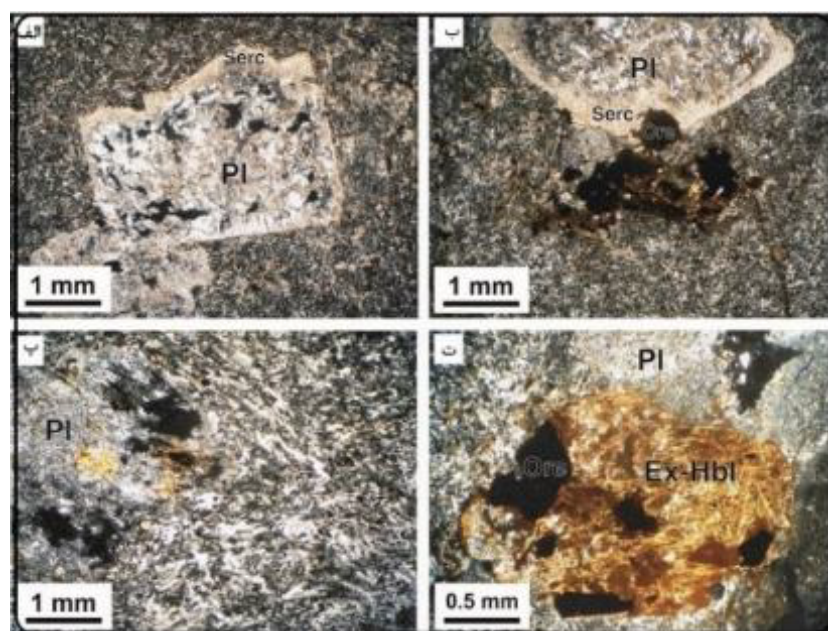
گدازهای آندزیتی بnderت دارای میان لایه‌های داسیتی و ریوداسیتی با بافت ریزسنگی هستند. این سنگ‌ها ریزبلور هستند و در آنها نیز کوارتز نسل جدید نهشته شده است. زمینه سریسیتی و دانه‌های پیریت از ویژگی‌های آنها هستند (شکل ۴). همچنین، در طیفهای XRD کانی‌های میکا (سریسیت) و کلریت شناسایی شده که نتایج آن در جدول ۱ آورده شده است. واحدهای آذرآواری از نوع توف آندزیتی بوده (شکل ۵) و دارای رنگ سبز روشن هستند. این سنگ‌ها بافت پرلیتی دارند



شکل ۲ (الف) بافت داریستی دربردارنده رگچه‌های کوارتزی سفید و شیری رنگ در منطقه بستان آباد. (ب) رگه کوارتزی شامل پیریت، کالکوپیریت، اسفالریت و گالن طلدار در آندزیت با عیار طلای  $<10\text{ ppm}$ , گمانه ۵/۵۲-۵/۴۹. (پ) برخه‌های طلدار. رنگ روشن متعلق به سنگ متاسوماتیک شامل کوارتز-سریسیت بوده و رنگ قهوه‌ای مربوط به بخش‌های دارای کوارتز و هیدروواکسید آهن است (عيار طلا  $1/2\text{ ppm}$ ). [DOR: 20.1001.1.17263689.1399.28.4.12.8]



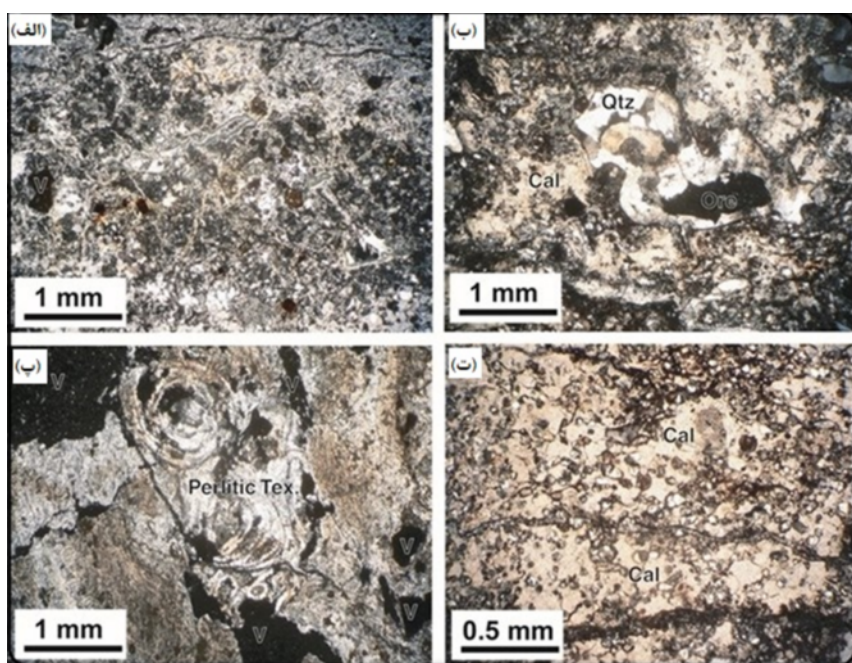
شکل ۳ تصاویر میکروسکوپی از سنگ‌های آندزیتی: (الف) بافت پرلیتی، (ب) رگچه‌های کوارتز که سنگ را قطع کرده‌اند، (پ) کوارتز نسل جدید و (ت) بلورهای پیریت شکل دار تا نیمه شکل دار در متن سنگ.



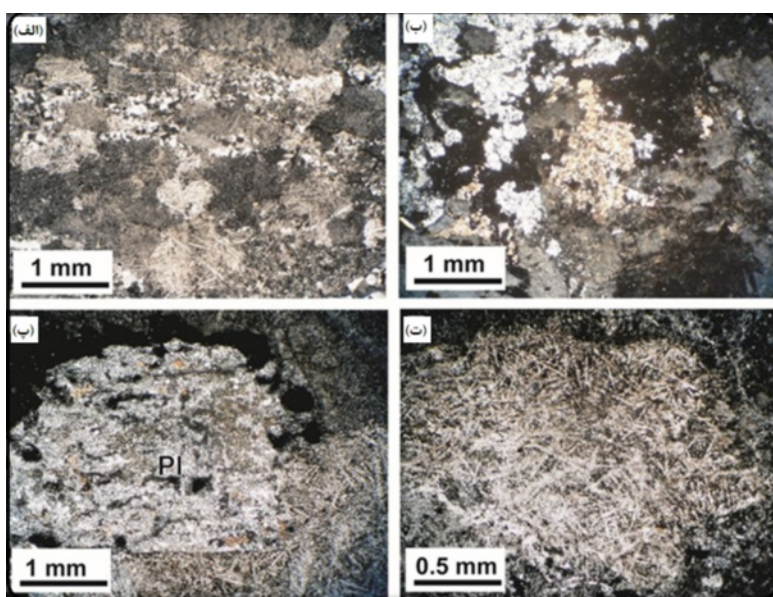
شکل ۴ تصاویر میکروسکوپی از سنگ‌های آندزیتی: بافت پورفیری با زمینه شیشه‌ای تا ریزنگی.

جدول ۱ نتایج برآمده از ریف‌های XRD نمونه‌های سنگی دگرسان.

نمونه	گمانه	عمق (متر)	کانی‌های اصلی	کانی‌های فرعی
۱	BHB-07	۳۱	دولومیت، فلدسپار، کوارتز	کلریت، میکا
۲	BHB-03	۳۴	کلسیت، کوارتز	کلریت، میکا
۳	BHB-03	۴۴	فلدسپار، کوارتز	دولومیت
۴	BHB-07	۱۰۷	فلدسپار، کوارتز	سیدریت
۵	BHB-10	۱۲۰	فلدسپار، کوارتز	کلریت، میکا



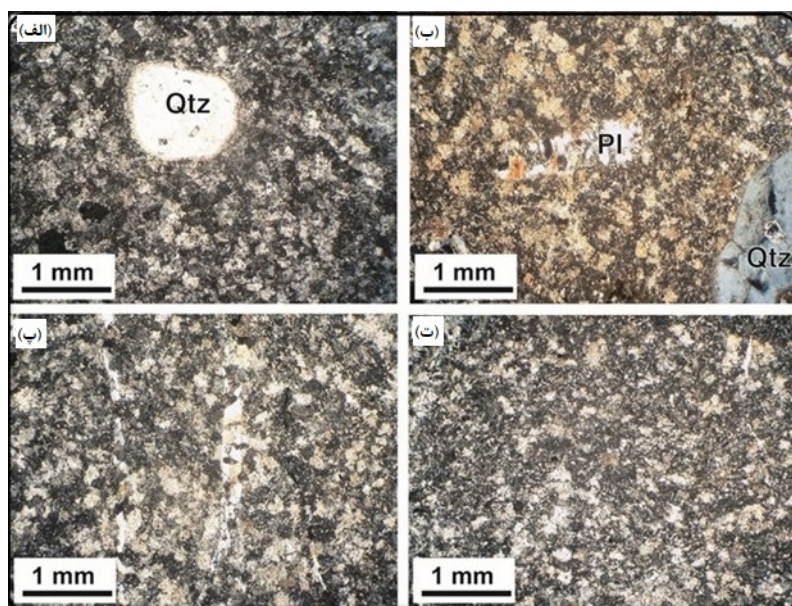
شکل ۵ تصاویر میکروسکوپی از توف‌های آندزیتی: (الف) زمینه ریزدانه دارای کوارتز، ب) کوارتز و پیریت بی‌شکل درون زمینه، پ) رگجه کوارتزی که سنگ با زمینه پرلیتی را قطع کرده است و ت) کلسیت درون زمینه (کربناتی شدن).



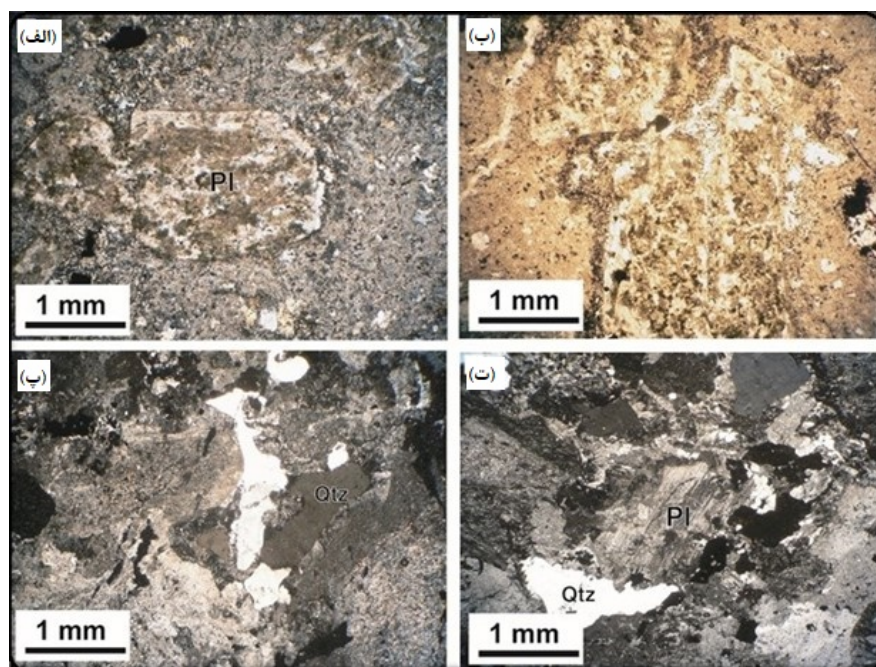
شکل ۶ تصاویر میکروسکوپی از واحد پومیس: (الف) خرددهای پلاژیوکلاز درون پومیس، (ب) سریسیتی شدگی انبوه، (پ) دگرسانی پلاژیوکلازهای شکل دار و (ت) بافت محلی ریزنگی.

ریزدانهای هستند و حفره‌های خالی سنگ توسط کوارتز پر شده‌اند. سنگ‌های گرانیتی دارای بافت پورفیری با زمینه ریزبلور هستند. درشت بلورهای آنها بیشتر کوارتزهای نیمه شکل دار و پلاژیوکلاز هستند که در زمینه ریزدانه قراردارند. پلاژیوکلازها ماکل چندریخت دارند و بخشی از آنها به سریسیت تجزیه شده‌اند. بلورهای کوارتز در سنگ‌های گرانیتی گاه دارای جایگاه بین دانه‌ای و بی‌شکل هستند (شکل ۸).

قطر قطعه‌های بزرگ آن به یک متر می‌رسد و متوسط ضخامت آن ۷۰ تا ۱۰۰ سانتیمتر است. ترکیب خرده سنگ‌های آن بیشتر ریوداسیتی است. سنگ‌های ریولیتی (شکل ۷) و گرانیت پورفیری در قسمت جنوبی و شرقی منطقه رخنمون دارند و بخش عمده آنها در خارج از منطقه اکتشافی گسترش دارد (شکل ۸). سنگ‌های شبه آتشفانی گرانیتی، میکرودیوریتی و دایک‌های گرانیتی به درون واحدهای اؤوسن نفوذ کرده‌اند. در مقاطع میکروسکوپی، ریولیت‌ها دارای بافت



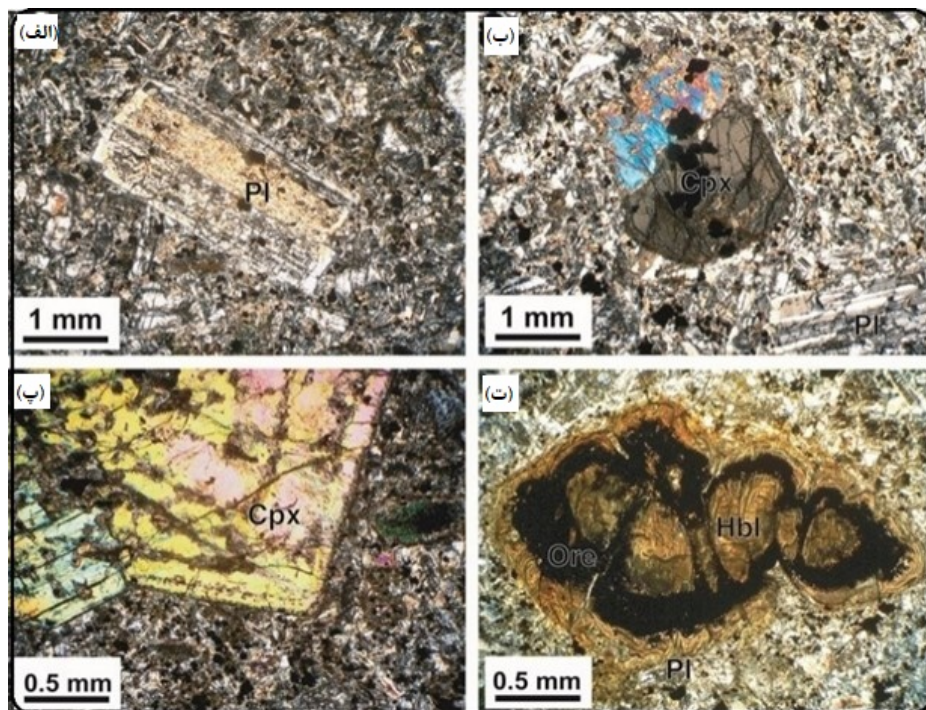
شکل ۷ تصاویر میکروسکوپی از سنگ‌های ریولیتی: (الف) کوارتز (Qtz) در زمینه ریزبلور، (ب) پلاژیوکلاز دگرسان شده، (پ و ت) زمینه ریزبلور سریسیتی شده.



شکل ۸ تصاویر میکروسکوپی از گرانیت پورفیری: (الف) درشت بلورهای پلازیوکلаз (Pl) که بطور بخشی توسط سریسیت جایگزین شده‌اند، (ب) سریسیتی شدگی سنگ، (پ) و (ت) جایگاه بین دانه‌ای و بی‌شکل کوارتز (Qtz) بین بلورهای پلازیوکلاز (Pl).

سنگ‌ها دگرسانی سریسیتی ضعیف نشان می‌دهند و در آنها، هورنبلند گاه به کانی‌های ثانویه شامل ترمولیت-اکتینولیت، اپیدوت، سریسیت و کلسیت تبدیل شده است.

سنگ‌های میکرودیوریتی شبه آتشفسانی بافت پورفیری با زمینه ریزبلور دارند و کانی‌های اصلی آنها پلازیوکلاز، کلینوپیروکسن (اوژیت) و هورنبلند هستند (شکل ۹). این



شکل ۹ تصاویر میکروسکوپی از واحد میکرودیوریتی (الف) درشت بلورهای پلازیوکلاز با بافت چندrijخت، (ب) درشت بلورهای کلینوپیروکسن، (پ) کلینوپیروکسن با بافت منطقه‌ای و (ت) هورنبلند دگرسان شده که کانی‌های کدر در قالب آن تشکیل شده‌اند.

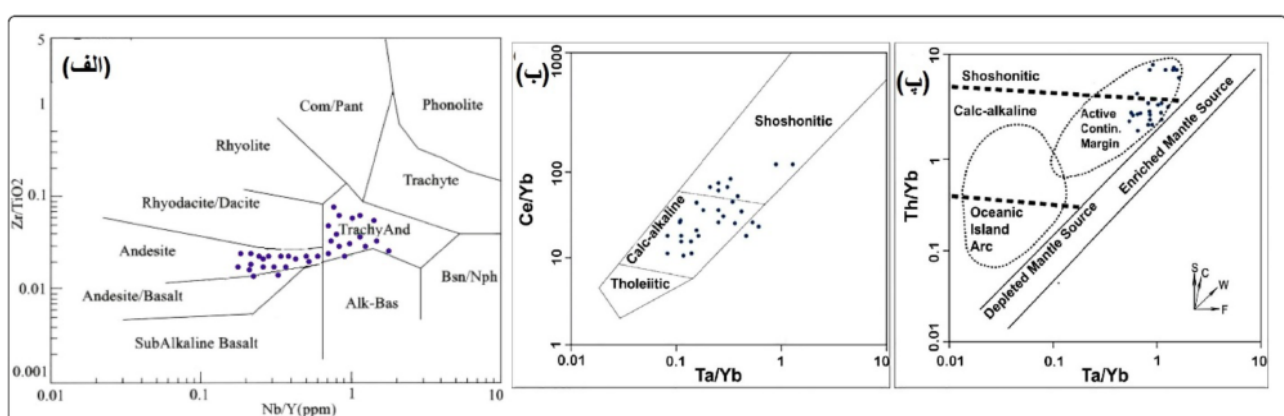
بیوتیت‌ها شده است. گاه شدت این دگرسانی چنان بالاست که تنها سایه‌ای از پلاژیوکلازها قابل تشخیص است. کوارتز ثانویه بصورت ریز تا متوسط بلور و بی‌شکل است (۱۵٪ تا ۳۰٪) و بیشتر در زمینه سنگ دیده می‌شود. کوارتز همچنین بصورت رگچه‌های میلیمتری تا چند سانتیمتری در این پهنه وجود دارد. این رگچه‌ها شامل کانی‌سازی پیریت هستند و بافت‌های برشی، نواربندی پوسته‌ای، موزائیکی، نواری و گلی و دروزی نشان می‌دهند. این رگچه‌ها اغلب شواهد خردشدنی و برشی شدن دارند. شدت برشی‌شدنی در مناطق مختلف متفاوت است. پیریت (۵٪ تا ۱۰٪) بصورت بلورهای شکلدار تا نیمه شکل‌دار و پراکنده در متن سنگ یا رگچه است و همچنین در محل‌هایی که کانی‌های فرومیزین مانند آمفیبول و بیوتیت دچار دگرسانی شده‌اند، حضور دارد. در مجموع، این نوع دگرسانی به دو شکل انتخابی و فراگیر دیده می‌شود. در نوع انتخابی، پلاژیوکلازها به سریسیت تبدیل شده و کانی‌های مافیک (بیوتیت و آمفیبول) توسط کلریت جایگزین شده‌اند. در کل، ولی در دگرسانی فraigیر همه کانی‌ها سریسیتی شده‌اند. در کل، این نوع دگرسانی تقریباً در همه سنگ‌های غنی از کانی‌های آلومینیومدار در معرض سیال‌های اسیدی تشکیل می‌شود [۱۵]. کاهش دما و نسبت  $a_{(K^+)} / a_{(H^+)}$  در سیال ماقمایی منجر به شکل‌گیری سریسیت بعنوان فاز سیلیکات پتابسیم غالب در مرحله دگرسانی فیلیک می‌شود [۱۶].

### نامگذاری سنگ‌های آتش‌فشاری

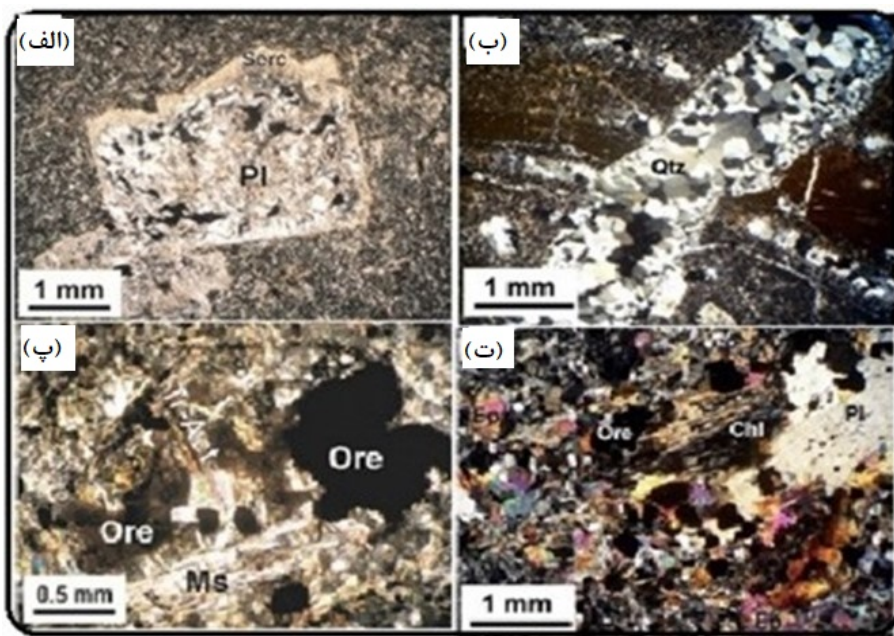
از آنجا که سنگ‌های آتش‌فشاری منطقه دارای درجه‌هایی از دگرسانی و در نتیجه تغییرات کانی شناسی و زمین شیمیایی هستند، نامگذاری و تعیین ویژگی‌های زمین شیمیایی آنها با استفاده از عناصری که امکان جایه جایی کمتری دارند [۱۱] برای نامگذاری سنگ‌های آتش‌فشاری بر پایه‌ی عناصر جزئی که بیشتر برای سنگ‌های دگرسان به کار می‌رود، سنگ‌های مورد بررسی در گستره آندزیت و تراکی آندزیت قرار دارند (شکل ۱۰ الف). برای شناسایی سری ماقمایی براساس نمودار  $Ta/Yb$  نسبت به  $Ce/Yb$  [۱۲]، نمونه‌های سنگی مورد بررسی در گستره آهکی قلیایی واقع هستند و تعدادی نیز گراش شوشوونیتی دارند (شکل ۱۰ ب). همچنین، نمودار  $Th/Yb$  نسبت به  $Ta/Yb$  [۱۴، ۱۳] نشان می‌دهد که پراکنش نمونه‌ها از الگوی منطقه کرانه فعال قاره‌ای پیروی کرده و غنی شدنگی وابسته به فرورانش را نشان می‌دهند (شکل ۱۰ پ).

### انواع دگرسانی‌های گرمابی

دگرسانی سریسیتی: این نوع دگرسانی گستردۀ ترین پهنه دگرسانی در منطقه مورد بررسی هم از نظر سطحی و هم عمقی است. بررسی مقاطع نازک این پهنه نمایانگر حضور کانی‌های کوارتز، پیریت و سریسیت است (شکل ۱۱). سریسیت (۲۰٪ تا ۵۰٪) بصورت پولک‌های بسیار ریزدانه بوده و بیشتر جانشین فلدسپارها و کمتر جانشین کانی‌های فرومیزین چون



شکل ۱۰ (الف) نامگذاری سنگ‌های آتش‌فشاری براساس نمودار مرجع [۱۷]. (ب) نمودار تعیین شاخص پتابسیم سنگ‌های آذرین [۱۲] که نمونه‌های مورد بررسی بیشتر در گستره آهکی قلیایی و تعدادی نیز شوشوونیتی قرار دارند. (پ) نمونه‌های منطقه مورد بررسی از سنگ‌های آتش‌فشاری کرانه فعال قاره‌ای هستند و غنی شدنگی وابسته به فرورانش نشان می‌دهند [۱۸، ۱۴].



شکل ۱۱ تصاویر میکروسکوپی از دگرسانی‌های گرمابی در سنگ‌های آندزیتیک: (الف) دگرسانی آرژیلیک (ب) رگه سیلیسی با بافت موزاییکی، (پ) دگرسانی سریسیتی و (ت) دگرسانی پروپیلیتیک.

گرمابی است شکل ۱۲ دگرسانی گرمابی آندزیت سیلیسی شده را نشان می‌دهد که دارای رگجه‌های کوارتز و کلسیت است. دگرسانی آرژیلیکی: این پهنه دگرسانی گسترش بسیار کمی هم از نظر رخنمون سطحی و هم عمقی دارد. رنگ نمونه‌های دستی مربوط به این پهنه سفید مایل به خاکستری است. از نظر گسترش عمقی، این دگرسانی بیشتر در نزدیکی شکستگی‌ها، گسل‌ها و مناطق با نفوذپذیری بالا دیده می‌شود زیرا نیازمند شستشوی اسیدی شدیدتر است. مهمترین مشخصه این پهنه دگرسانی، شکل‌گیری کانی‌های رسی چون کائولینیت همراه با مقادیری سریسیت است. بررسی سنگ-نگاری بیشتر مقاطع نازک مربوط به این پهنه، تبدیل شدن فلدسپات‌ها به کانی‌های رسی را نشان می‌دهد. بر اساس بررسی‌های میکروسکوپی، همه بلورهای پلازیوکلاز در این پهنه به کانی‌های رسی تبدیل شده و تنها سایه‌ای از آنها باقی مانده است و در زمینه نیز مقدار زیادی کانی‌های رسی تشکیل شده‌اند (شکل ۱۳). سریسیت تنها به مقدار جزئی دیده می‌شود. کوارتز بصورت بلورهای بی‌شکل ریز در متن سنگ پراکنده است. پیریت در این پهنه به مقدار کم حضور دارد. بخشی از آثار دگرسانی آرژیلیکی در سطح منطقه با حضور کانی‌های اکسیدی آهن و افزایش قابل ملاحظه مقدار کانی‌های رسی مشخص می‌شوند که می‌توانند ناشی از فرایندهای برونزایی

از این رو، طی این واکنش‌ها، پلازیوکلازها در pH‌های اسیدی و در اثر دگرنهادی پتابسیم و آب کافت، به سریسیت تبدیل می‌شوند و کوارتز ثانویه نیز تشکیل می‌شود که ممکن است بصورت کوارتز بلورین و به طور پراکنده در متن سنگ و یا به شکل رگجه‌های میلیمتری در زمینه سنگ نهشته شود و یا بصورت آبگین باقی بماند. همچنین براساس این واکنش، مقداری یون سدیم از تبدیل آلیت به سریسیت آزاد می‌شود که با توجه به تشکیل نشدن هیچ کانی سدیم‌دار جدید چون پاراگونیت، توسط سیال‌های دگرسان کننده کامل از محیط خارج شده است.

فلدسبارهای قلیایی (در ریولیت و گرانیت پورفیری) نیز در pH‌های اسیدی و در اثر آب کافت، به سریسیت تبدیل شده و سیلیس تولید می‌کنند و یون پتابسیم آزاد شده نیز می‌تواند صرف تبدیل پلازیوکلازها به سریسیت شود. آثار سریسیتی شدن در کانی‌های فرومیزین نیز قابل دیده است و از این رو طی رخداد این دگرسانی، عناصر Ca, Na و Mg توسط سیال‌های دگرسان کننده از سنگ شسته و خارج می‌شوند.

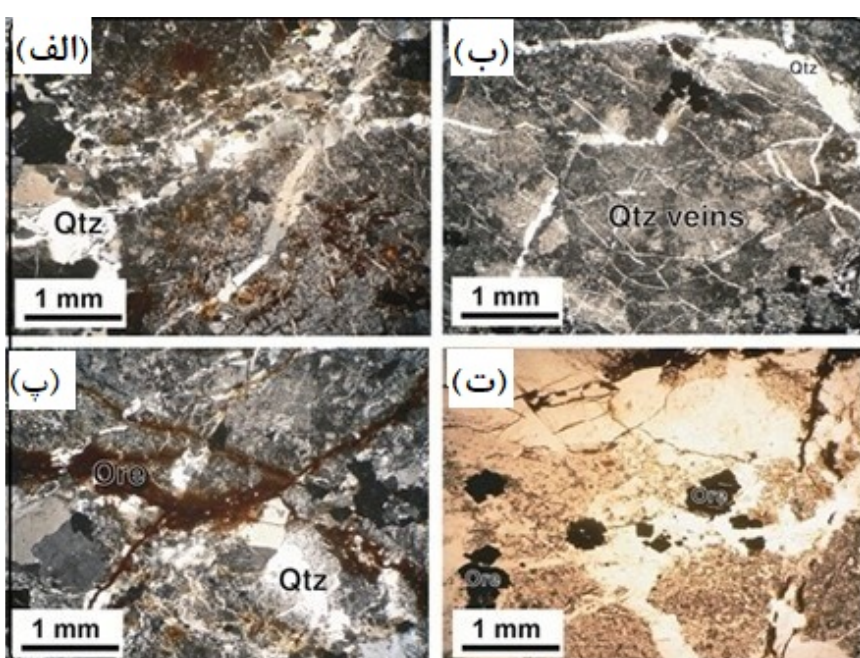
**دگرسانی سیلیسی:** فرآیند دگرسانی سیلیسی شدن در حجم گستردگی رخ داده است. افزایش درصد حجمی کوارتز باعث ایجاد دگرسانی سیلیسی در آندزیت شده است. عوامل موثر بر ته‌نشینی سیلیس شامل کاهش فشار، دما و pH محلول‌های

بخشی نیز سریسیتی شده‌اند. همه آمفیبول‌ها (هورنبلند) به کلریت و کلسیت دگرسان شده‌اند، در حالیکه درشت بلورهای بیوتیت به کلریت دگرسان شده‌اند و تشخیص این کانی‌ها تنها از روی سطوح بلورشناسی میسر است.

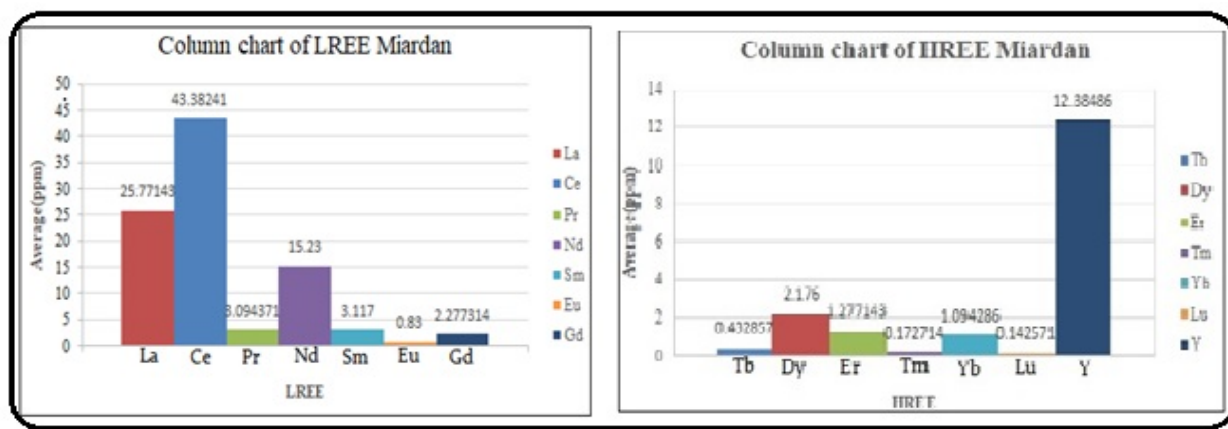
اپیدوت بصورت بلورهای ریزدانه بیشتر درون و پیرامون پلاژیوکلازها و کانی‌های فرومینیزین تشکیل شده و کلریت نیز جانشین کانی‌های فرومینیزین شده است (شکل ۱۳). همچنین کلریت و اپیدوت همراه با کلسیت بصورت رگچه‌ای و نیز بصورت پراکنده تشکیل شده‌اند. کلسیت بصورت رگچه‌ای و نیز بصورت پراکنده در متن سنگ (در کنار و درون قالب پلاژیوکلازها و آمفیبول‌های دگرسان) حضور دارد. سریسیت ناشی از آزادشدن  $K^+$  طی کلریتی شدن بیوتیتها می‌باشد. از نظر زمین شیمیایی، این دگرسانی در شرایط دگرنهادی ضعیف هیدروژن (که منجر به تشکیل مونت موریلوبونیت می‌شود) تا دگرنهادی شدید منیزیم یا سدیم (که پیامد آن جانشینی کلریت یا کربنات منیزیم و آهن یا فلدسپار قلیایی غنی از سدیم بهای فلدسپارهای پرکلسیم و یا حتی قلیایی است) ادامه می‌یابد. برای تشکیل این نوع دگرسانی باید موادی چون منیزیم، کلسیم، آهن، گوگرد،  $CO_2$  و آب و تا حدی پتانسیم به سنگ اضافه شوند. در کل، سیال‌های مسؤول این دگرسانی مخلوطی از آبهای ماقمایی با مقادیری از سیال‌های با خاستگاه خارجی هستند [۲۰، ۲۱].

باشند. در دگرسانی آرژیلیکی، جانشینی کانی‌های آلمینوسیلیکاتی توسط کانی‌های رسی نخست از فلدسپارهای پتانسیم شروع شده و سپس پلاژیوکلازها را نیز در بر می‌گیرد. از نظر شیمیایی، دگرسانی آرژیلیکی در شرایط اسیدی به نسبت بالا و حضور آب بسیار در محیط رخ می‌دهد [۱۹]. این دگرسانی هنگامی گسترش می‌یابد که شرایط محیط، به ویژه pH، برای تحرک Al چندان مناسب نباشد. صعود بخارهای ناشی از سرد شدن توده‌های نفوذی که طی سرد شدن سریع، قدرت اسیدی آنها بطور فزاینده‌ای افزایش یافته است، و برخورد این بخارها (دربردارنده  $HCl$  و  $SO_2$ ) با آبهای سرد جوی، موجب شسته شدن سنگ‌های اطراف و تشکیل پهنه دگرسانی آرژیلیکی می‌شود. برای تشکیل این پهنه در سنگ- $SO_2$  و  $HF$  در سیال‌های صعود کننده مهم است.

**دگرسانی پروپیلیتیکی:** آثار محدودی از این نوع دگرسانی در سنگ‌های آتش‌شانی منطقه و دور از توده نفوذی دیده می‌شوند. بر اساس بررسی‌های سنگ‌نگاری، کانی‌های شاخص این دگرسانی در منطقه مورد بررسی، کلریت، اپیدوت و کلسیت هستند (شکل ۱۱) افزون بر آنها، مقادیری سریسیت و بطور محلی پیریت (کمتر از ۲ درصد حجمی) در سنگ‌های این پهنه تشکیل شده‌اند. فلدسپارها بخشی به اپیدوت تبدیل شده و



شکل ۱۲ تصاویر میکروسکوپی از دگرسانی سیلیسی در واحد آندزیت: (الف) رگچه‌های کوارتز و کلسیت، (ب) مقدار زیادی دانه‌های پراکنده و رگچه کوارتزی، (پ) رگچه ماده معدنی در سنگ دگرسان و (ت) بلورهای شکل‌دار پیریت.



شکل ۱۳ نمودارهای ستونی عناصر نادر خاکی سنگ‌های آندزیتی منطقه میارдан.

بیشترین مقدار HREE‌ها با ppm ۱۲/۳۸ عنصر ایتریم است (شکل ۱۳).

الگوی کلی توزیع REE‌ها نسبت به کندریت (شکل ۱۴ الف) در سنگ میزبان دگرسان و رگه‌های دارای کانی‌سازی یک شبی منفی مشخص از LREE‌ها به سمت HREE‌ها نشان می‌دهد که الگوی نوعی بسیاری از سنگ‌های آتشفسانی جوان واپسی به فروزانش است [۲۳] و بیانگر جدایش و غنی‌شدن LREE‌ها نسبت به HREE‌هاست (شکل ۱۴ الف). این الگو زمانی به دست می‌آید که گارنت بعنوان فاز بازماندی پایدار باشد [۲۶-۲۴]. از سوی دیگر، الگوی هموار و کم‌شبی HREE‌ها پیشنهاد می‌کند که آمفیبول نیز در منطقه خاستگاه ماگما حضور داشته است. از این رو، فراوانی پایین HREE‌ها نشانگر حضور گارنت  $\pm$  هورنبلند در مواد بازماندی برآمده از ذوب‌بخشی مواد خاستگاه است. گارنت تنها در فشارهای بالا بصورت فاز بازماندی حضور دارد، از این رو می‌توان گفت که فشار در منطقه خاستگاه، بالا بوده است، زیرا ماقماهای برآمده از سامانه‌های بدون گارنت در فشارهای پایین، الگوی REE‌ها هموار بدون تهی‌شدنگی HREE‌ها دارند.

#### تغییرات عناصر کمیاب نسبت به گوشه‌های اولیه

مقادیر عناصر کمیاب بهنجار شده به گوشه‌های اولیه و الگوی LREE غنی‌شدنگی مشخص و عناصر با شدت میدان بالا (HFSE) (تهی‌شدنگی نشان می‌دهند و در مجموع، از Cs تا Lu) روند کاهشی دیده می‌شود. با توجه به شکل ۱۵، عناصر Ba, Ti, Nb و Nd U, K, Pb, Rb ناهنجاری مثبت و عناصر LREE با

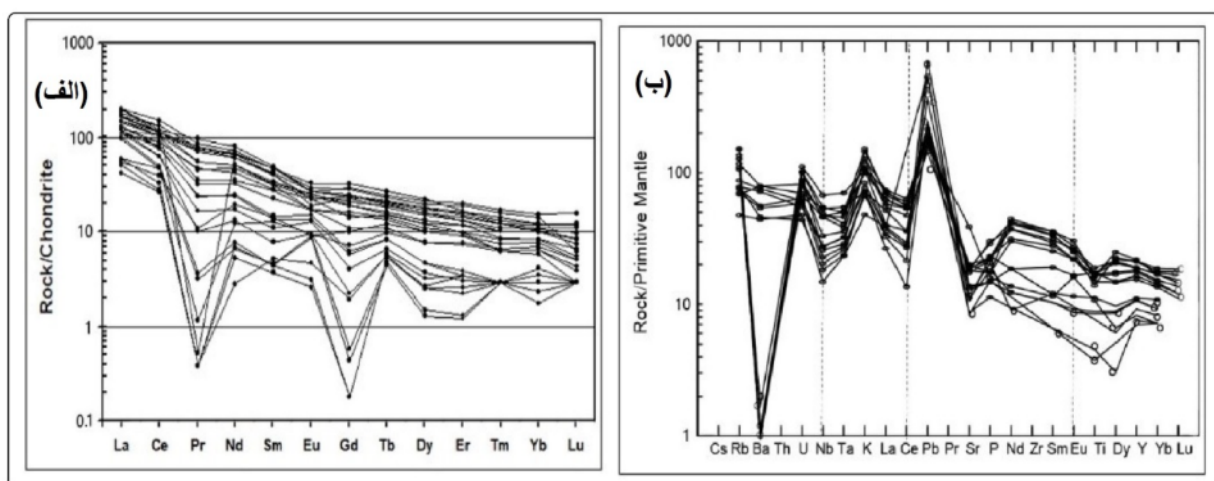
دگرسانی برونزاد: با توجه به فراوانی پیریت و نیز حضور کانی‌های آلومینوسیلیکاتی در پهنه دگرسانی فیلیک، آب‌های پایین‌رو در اثر هوازدگی و دگرسانی برونزاد حالت اسیدی پیدا کرده و موجب انحلال عناصر متحرک سنگ میزبان و ایجاد کانی‌های رسی (بیشتر کائولینیت)، اکسیدها و هیدروکسی‌دهای آهن، و شکل‌گیری پهنه شسته شده برونزاد در افق‌های سطحی شده‌اند. هماتیت و گوتیت به طور گستردگی در این منطقه شکل گرفته‌اند. مهمترین واکنش‌هایی که در پهنه اکسیدی رخ می‌دهند اکسایش، آب کافت و آبدارشدن هستند که در نتیجه آنها، کانی‌های سولفیدی اکسیدی شده و فلدرسپارها و میکاها به کائولینیت تبدیل می‌شوند. اغلب کانی‌های سولفیدی در مقایسه با کانی‌های سیلیکاتی، اکسیدی و کربناتی تشکیل دهنده سنگ‌ها، پایداری کمتری در منطقه هوازدگی دارند. در نتیجه، سولفیدها اکسیدی و حل شده و یا دست کم نسبت به سنگ‌های دریگیرینده خود آسانتر دگرسان می‌شوند و فقط رخنمون‌هایی از فراورده‌های هوازدگ باقی می‌گذارند.

#### عوامل زمین‌شیمیایی موثر بر توزیع عناصر خاکی نادر

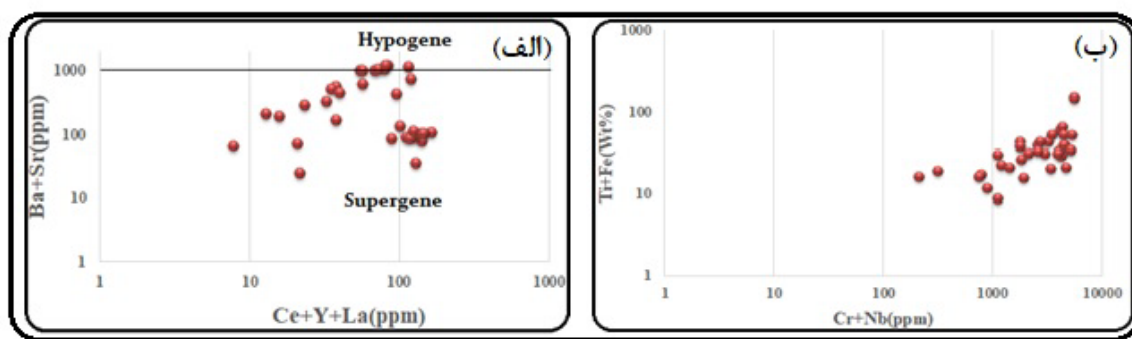
در این پژوهش، برای تعیین عوامل فیزیکوشیمیایی موثر بر توزیع عناصر خاکی نادر در سنگ میزبان و رگه‌های دربردارنده کانی‌سازی طلا، مقادیر REE نمونه‌ها نسبت به کندریت و گوشه‌های اولیه [۲۲] بهنجار شده‌اند. نتایج تجزیه‌های شیمیایی نشان می‌دهند که مقدار REE‌ها در نمونه‌های مورد بررسی از ۰،۱۶ ppm تا ۸۰ ppm متغیر است. با توجه به شکل ۱۳، بیشترین مقدار LREE‌ها با ppm ۴۳/۳۸ ppm، مربوط به عنصر سریم و

در چنین جایگاههایی نسبت داد [۳۱-۳۳]، البته رخداد کانه-سازی گالن توسط محلول‌های گرمابی را نیز نباید نادیده گرفت که توسط بررسی‌های صحرایی و میکروسکوپی تایید شده است. Ba در محیط‌های فورانشی، ممکن است عنصر در محیط‌های فورانش است. غنی‌شدگی LREEها و LILEها در مقایسه با HFSEها (مانند Yb) را می‌توان در ارتباط با رسوب‌ها و مایع‌های وابسته به محیط‌های فورانش کرانه قاره‌ای دانست [۱۷]. غنی‌شدگی LILEها به حلایت بالای این عناصر در محلول‌های آبگین غنی از کلر نسبت داده می‌شود که می‌توانند به سادگی توسط محلول‌های تولید شده از تیغه فورانده شده حمل شوند. حال آنکه حلایت HFSEها در چنین محلول‌هایی کم است و از این رو، در سیال‌ها و مagmaهای پهنه‌های فورانشی تهی شده هستند [۳۴]. سرانجام می‌توان گفت که ویژگی‌های زمین شیمیایی سنگ‌های مورد بررسی بیانگر ذوب بخشی درجه پایین مواد خاستگاه در فشار بالا و باقی ماندن مقداری هورنبلندها، گارنت و روتیل بازماندی، بدون پلاژیوکلاز است. افزون بر این، توزیع و غنی‌شدگی عناصر REEها در سنگ‌های آهکی قلیایی شمال آذربایجان نشان می‌دهد که این سنگ‌ها می‌توانند از گوشه‌های بالایی که نسبت به این عناصر غنی است، شکل گرفته باشند [۳۵].

Nb، Ce، Sr ناهنجاری منفی نشان می‌دهند. ناهنجاری منفی Ti نشانگر نقش اکسیدهای Fe-Ti (روتیل و ایلمنیت) و یا هورنبلندها و حضور آنها بعنوان کانی‌های بازماندی در پهنه خاستگاه ماقاماست [۲۳]، زیرا این کانی‌ها بعنوان مرمرکز کننده اصلی HFSEها شناخته می‌شوند. همچنین این ناهنجاری‌های منفی پیشنهاد می‌کنند که ذوب در شرایط فشار بالا رخ داده بطوریکه روتیل بصورت کانی بازماندی بوده است [۲۷]. از این رو، ناهنجاری‌های منفی قوی Nb و ضعیف Ti و نبود تهی شدگی Zr یا Hf می‌تواند ناشی از باقی ماندن مقدار کمی روتیل بازماندی در پهنه خاستگاه ماقما باشد [۲۳] و این بیانگر ذوب بخشی درجه پایین تا متوسط در فشارهای بالاتر است [۲۴]. غنی‌شدگی عناصر Rb و K می‌تواند در ارتباط با فرآیند دگرنهادی مواد گوشه‌ای یا آلایش توسط پوسته قاره‌ای باشد. همچنین افزایش Rb و K در ارتباط با تشکیل کانی‌های رسی و سریسیت است. وجود ناهنجاری منفی عناصر P، Sr و Ba نشانگر نقش پوسته قاره‌ای در تولید magma یا تبلور جدایشی است [۳۰-۲۸]. تهی‌شدگی شدید Sr همچنین می‌تواند در ارتباط با دگرسانی پلاژیوکلازها در نمونه‌های مورد بررسی باشد. فراوانی سرب و ناهنجاری‌های شدید آن مشخصه محیط‌های فورانشی است و از آبردایی تیغه فورانشی و نیز برهم کنش‌های گوه گوشه‌ای در این مناطق ناشی می‌شود. از این رو، ناهنجاری مثبت شدید سرب در نمونه‌های مورد بررسی را می‌توان به ماهیت بسیار متحرک آن در سیال‌های تولید شده



شکل ۱۴ (الف) الگوی توزیع عناصر خاکی نادر نمونه‌های مورد بررسی بهنجار شده به کندریت [۲۲] و (ب) نمودار عنکبوتی عناصر جزئی و کمیاب نمونه‌های مورد بررسی، بهنجار شده نسبت به گوشه‌های اولیه [۲۲].



شکل ۱۵ (الف) نمودار  $\text{Ba}+\text{Sr}$  نسبت به  $\text{Cr}+\text{Nb}$  [۳۶] و (ب) نمودار  $\text{Ce}+\text{Y}+\text{La}$  نسبت به  $\text{Ti}+\text{Fe}$  میاردان [۳۷].

نبود پلازیوکلاز بازماندی در منطقه خاستگاه ماقماست و ناهنجاری‌های منفی ضعیف می‌تواند ناشی از دگرسانی پلازیوکلازها و خارج شدن یوروپیوم از ساختار آنها باشد. از سوی دیگر، از آنجاکه  $\text{Eu}/\text{Eu}^*$  بر اساس فراوانی یوروپیوم در مقایسه با غلظت‌های  $\text{Sm}$  و  $\text{Gd}$  محاسبه می‌شود، مقادیر بالای ناهنجاری یوروپیوم را می‌توان به این امر نسبت داد که کسر کوچکتری غلظت از کل  $\text{Eu}$  موجود در یک نمونه سالم در مقایسه با  $\text{Sm}$  و  $\text{Gd}$  می‌تواند به سادگی در دسترس سیال‌های دگرسان کننده باشد [۴۱،۴۰]. از این رو، با اینکه مقدار زیادی از این دو عنصر طی دگرسانی از سنگ شسته و خارج می‌شوند، یوروپیوم کمتری از سنگ شسته و خارج شده و مقادیر  $\text{Eu}/\text{Eu}^*$  بالایی نتیجه می‌شوند. از سوی دیگر، یوروپیوم در شرایط اکسیدی بی‌تحرک است و از طریق جذب سطحی توسط اکسیدها یا کانی‌های رسی متتمرکز می‌شود.

### ناهنجاری $\text{Ce}$ و $\text{Eu}$

مقادیر ناهنجاری  $\text{Eu}$  و  $\text{Ce}$  با استفاده از داده‌های بدست آمده از تجزیه ICP-MS با رابطه‌های زیر محاسبه و نتایج در جدول ۲ آورده شده‌اند.

$$\text{Eu}/\text{Eu}^* = \text{Eu}_n / [((\text{Sm})_n \times (\text{Gdn}))^{1/2}] \quad (1)$$

$$\text{Ce}/\text{Ce}^* = \text{Ce}_n / [((\text{La})_n \times (\text{Prn}))^{1/2}] \quad (2)$$

برای مقدار  $\text{Eu}/\text{Eu}^*$  بیش از یک، ناهنجاری مثبت و کمتر از یک ناهنجاری منفی است [۳۸]. مقدار این نسبت برای سنگ‌های منطقه میاردان اغلب بیش از یک است و تنها در تعدادی از نمونه‌ها، ناهنجاری منفی ضعیف دیده می‌شود. وجود ناهنجاری منفی  $\text{Eu}$  از ویژگی‌های گدازه آهکی قلیایی وابسته به فرورانش و بیانگر حضور پلازیوکلاز در فاز باقی مانده طی ذوب‌بخشی است [۳۹]، زیرا به علت تشابه یونی  $\text{Ca}^{2+}$  با  $\text{Eu}^{2+}$ ،  $\text{Eu}$  می‌تواند بجای  $\text{Ca}$  وارد ساختار پلازیوکلازها شود. ناهنجاری مثبت یوروپیوم در نمونه‌های مورد بررسی به دلیل

جدول ۲ مقادیر ناهنجاری‌های  $\text{Eu}/\text{Eu}^*$  و  $\text{Ce}/\text{Ce}^*$  در نمونه‌های مورد بررسی.

شماره نمونه	$\text{Eu}/\text{Eu}^*$	شماره نمونه	$\text{Eu}/\text{Eu}^*$	شماره نمونه	$\text{Ce}/\text{Ce}^*$	شماره نمونه	$\text{Ce}/\text{Ce}^*$
MS1	۰,۷۸	MS19	۰,۹۸	MS1	۱۲,۹۴	MS19	۱,۱۲
MS2	۳,۱۰	MS20	۰,۷۸	MS2	۰,۴۷	MS20	۱,۰۸
MS3	۰,۸۱	MS21	۱,۰۲	MS3	۱,۵۰	MS21	۱,۱۰
MS4	۰,۸۱	MS22	۳,۴۹	MS4	۱,۰۷	MS22	۶,۵
MS5	۰,۷۸	MS23	۱,۱۱	MS5	۱,۱۵	MS23	۱,۲۰
MS6	۱,۰۹	MS24	۶,۲۲	MS6	۱,۳۱	MS24	۲,۴۲
MS7	۱,۴۶	MS25	۰,۴۷	MS7	۶,۱۶	MS25	۱,۵۳
MS8	۱	MS26	۰,۸۵	MS8	۵,۴۷	MS26	۱,۰۵
MS9	۹,۷۲	MS27	۳,۴۴	MS9	۰,۱۲	MS27	۳,۸۷
MS10	۹,۷۲	MS28	۰,۷۲	MS10	۴,۰۶	MS28	۰,۸۱
MS11	۰,۶۹	MS29	۰,۸۰	MS11	۰,۸۴	MS29	۱,۰۹
MS12	۳,۱۵	MS30	۱,۵۶	MS12	۵,۹۷	MS30	۱,۳۱
MS13	۹,۷۲	MS31	۲,۳۱	MS13	۱,۹۸	MS31	۱,۸۱
MS14	۵,۵۴	MS32	۱,۵۲	MS14	۲,۵۸	MS32	۱,۳۴
MS15	۰,۸۵	MS33	۱,۸۹	MS15	۱	MS33	۱,۳۷
MS16	۰,۹۳	MS34	۱,۶۱	MS16	۱,۱۱	MS34	۱,۲۹
MS17	۰,۶۱	MS35	۹,۷۲	MS17	۰,۹۵	MS35	۰,۶۰
MS18	۹,۷۲			MS18	۳,۴۴		

های آندزیتی دگرسان، خرد و برشی شده ائوسن رخ داده که سنگ‌های گستره کانه‌دار بدیل اکسایش کانی‌های سولفیدی اولیه، به ویژه پیریت، و تشکیل اکسیدهای آهن آبدار تیره هستند. در این منطقه، سنگ‌های آندزیتی توسط تعداد زیادی رگه و رگچه‌های کوارتزی سفید و شیری رنگ دارای طلا با عیار تقریبی ۱/۲ گرم در تن قطع شده‌اند. حال آنکه در رگه‌های کوارتزی خاکستری رنگ که در لبه، لایه نازکی از کانه‌های سولفیدی (پیریت، کالکوپیریت، اسفالریت و گالن) دارند، عیار طلا بیش از ۱۰ ppm است. افزون بر رگه‌های کوارتز، طلا در سنگ‌های دگرسان و برش‌ها نیز یافت می‌شود.

دگرسانی‌های برونزاد و درونزاد گسترش بسیاری در منطقه میارдан دارند. دگرسانی‌های درونزاد شامل پهنه‌های سیلیسی، فیلیک (کوارتز- سریسیت)، آرژیلیکی و پروپلیتیکی هستند. بررسی‌های کانی‌شناسی نشان می‌دهد که کوارتز، کائولینیت و سریسیت مهم‌ترین کانی‌های دگرسانی درونزاد و لیمونیت کانی عمده دگرسانی برونزاد در این منطقه است. حضور کانی‌هایی چون کلریت، اپیdot و کلسیت نشان دهنده pH خنثی و حضور کانی کائولینیت نشان دهنده pH اسیدی محلول‌های گرمابی است [۴۴]. بنابراین به نظر می‌رسد که pH محلول های درونزاد و برونزاد در تشکیل پهنه‌های دگرسانی در این منطقه نقش داشته‌اند، اما نقش محلول‌های برونزاد بیشتر بوده است. در الگوهای عناصر بهنجار شده به کندریت، شیب نمایانی از LREEها به سمت HREEها دیده می‌شود که الگوی نوعی بسیاری از سنگ‌های آتشفسانی جوان وابسته به فرورانش بوده و بیانگ وجود گارنت  $\pm$  هونبلند بعنوان فازهای بازماندی در منطقه خاستگاه ماقما و ذوب‌بخشی درجه پایین تا متوسط در فشار بالاست. نوع کانی‌زایی، دگرسانی بافت‌های دیده شده و جایگاه قرارگیری نسبت به توده‌های نفوذی منطقه، مشابه با یک کانسار نوع فراگرمایی سولفید پایین با تنوع کانی‌زایی در رگه‌های مختلف است.

#### قدرتانی

نویسنده‌گان این مقاله از صندوق حمایت از پژوهشگران و فناوران کشور به دلیل حمایت مالی از این مقاله نهایت سپاس و قدردانی را دارد.

#### مراجع

- [1] Palacios C.M., Hein U.F., Dulski P., "Behaviour of rare earth elements during

عواملی مانند شرایط اکسایش - کاهش می‌تواند نقش مهمی در ایجاد ناهنجاری مثبت سریم داشته باشد [۴۲]. نسبت Ce/Ce\* در نمونه‌های مورد بررسی اغلب بیش از یک بوده و بیانگر فعالیت به نسبت بالای اکسیژن در زمان تبلور سنگ‌های آندزیتی است [۴۳]. تنها در تعداد کمی از نمونه‌ها، این ناهنجاری کمی منفی است که نشان می‌دهد که مقداری از سریم آزاد شده بصورت Ce<sup>3+</sup> توسط سیال‌های دگرسان کننده و کانه‌ساز از محیط خارج شده است. از آنجا که پایداری کمپلکس‌های حمل کننده REE‌ها با افزایش دما افزایش می‌یابد [۶۵]، مقادیر منفی می‌توانند معرف پهنه‌هایی باشند که در معرض سیال‌های با دمای بالاتر قرار داشته‌اند.

#### خاستگاه سیال‌های دگرسان کننده و کانه‌ساز

خاستگاه سیال‌های کانه‌ساز از دو روش تعیین شد. در روش اول، از مقادیر Ce+Y+La و Ba+Sr برای مشخص کردن ماهیت سیال‌ها استفاده گردید [۳۶]. مقادیر بالای Ba+Sr خاستگاه درونزاد و مقادیر پایین آن، ماهیت برونزاد را برای سیال نشان می‌دهند. روش دوم استفاده از نمودار Ti+Fe نسبت به Cr+Nb [۳۷] است. مقدار Ti+Fe در نمونه‌های Ba+Sr نمودار برونزاد هستند. مقدار Ba+Sr نموده‌های مورد بررسی در صورتی که کمتر از یک درصد وزنی باشد، سیال‌های دگرسان کننده دارای ماهیت درونزاد و اگر بیشتر از یک باشد دارای ماهیت برونزاد هستند. مقدار Ti+Fe در همه نمونه‌ها بیش از یک است بنابراین می‌توان گفت که سیال‌های برونزاد نقش اصلی را در ایجاد پهنه‌های دگرسانی داشته‌اند (شکل ۱۵ ب). با توجه به نمودارهای نام برده و پیاده کردن مقادیر به دست آمده از تجزیه‌ها در آن‌ها، به روشنی می‌توان بی برد که در کانه‌سازی منطقه میاردان، هر دو محلول برونزاد و درونزاد شرکت داشته‌اند، اما نقش محلول‌های برونزاد به مرتب بیشتر از محلول‌های درونزاد بوده است.

#### برداشت

منطقه مورد بررسی در ۱۵ کیلومتری غرب شهرستان بستان آباد واقع است. این منطقه اغلب از سنگ‌های آتشفسانی تشکیل شده و توسط واحد سنگی خاکستر آتشفسانی پوشیده شده است. فرایند دگرسانی و کانی‌سازی در واحدهای آتشفسانی و آذرآواری ائوسن صورت گرفته است. بررسی سنگ‌شناسی سنگ‌های آتشفسانی نشان می‌دهد که سنگ‌های مورد بررسی از نظر ترکیبی، آندزیت و تراکی آندزیت هستند و ماهیت آهکی قلیایی تا شوشونیتی دارند و در جایگاه کرانه فعال قاره‌ای تشکیل شده‌اند. کانی‌زایی طلا در منطقه میاردان درون سنگ-

- [12] Muller D., Groves D. I., "Potassic igneous rocks and associated gold-copper mineralization", Springer, (1997) 238 pp
- [13] Pearce J.A., "Role of sub-continental lithosphere in magma genesis at active continental margins. In: Hawkesworth C.J., Nurry M.L. (Eds.), *Continental basalts and Mantle Xenoliths*", Shiva, Nantwich. pp. 230-249.
- [14] Helvacı C., Ersoy E.Y., Sözbilir H., Erkül F., Sümer Ö., Uzel B., "Geochemistry and  $^{40}\text{Ar}/^{39}\text{Ar}$  geochronology of Miocene volcanic rocks from the Karaburun Peninsula: Implications for amphibole-bearing lithospheric mantle source", Western Anatolia. Journal of Volcanology and Geothermal Research, 185(3) (2009) 181–202.
- [15] Van Middelaar W.T., Keith W.T., "Mica chemistry as an indicator of oxygen and halogen fugacities in the Can Tung and other W-related granitoids in the North American Cordillera. In: Stein, H.J., Hannah, J.L., (eds.), *Ore Bearing Granite System*", Geological Society of America, Special Paper 246, 205-220.
- [16] Hemley J.J., Hunt J.P., "Hydrothermal ore-forming processes in the light of studies in rock-buffered systems: II. Some general geologic applications", Economic Geology 87(1992) 23-43.
- [17] Winchester J. A., Floyd P. A., "Geochemical discrimination of different magma series and their differentiation products using immobile elements", Chemical Geology 20 (1977) 245-252.
- [18] Pearce J.A., "Role of sub-continental lithosphere in magma genesis at active continental margins. In: Hawkesworth C.J., Nurry M.L. (Eds.), *Continental basalts and Mantle Xenoliths*", Shiva, Nantwich. pp. 230-249(1983).
- [19] Titley S.R., Beane R.E., "Porphyry copper deposits, Part 1. Geologic settings, petrology and tectonogenesis", Economic Geology, 75<sup>th</sup> Anniversary Volume (1981) 214-235.
- [20] Sillitoe R.H., "Supergene oxidized and enriched porphyry copper and related deposits", Economic Geology 100th Anniversary Volume, (2005) 723-768.
- [21] Simmons V., Calagari A.A., Moyed M., Jahangiri A., "Investigation of porphyry alteration zones and their geochemical behavior in trace elements and rare earths in Kigal area (North of Varzaghan, East Azerbaijan)", (in Persian). Iranian Journal of Crystallography and Mineralogy, 19 (4) (2011) p. 578-565.
- [22] Sun S.S., McDonough W.F., "Chemical and isotopic systematics of oceanic basalts: Implications for mantle composition and hydrothermal alteration at the Buena Esperanza copper-silver deposit, northern Chile", Earth Planetary Science Letter, 80 (1986) 208-216.
- [2] Michard A., "Rare earth element systematics in hydrothermal fluid", Geochimica et Cosmochimica Acta, 53 (1989) 745-750.
- [3] Lewis A.J., Komninou A., Yardley B.W.D., Palmer M.R., "Rare earth element speciation in geothermal fluids from Yellowstone National park, Wyoming, USA", Geochimica et Cosmochimica Acta 62 (1998) 657-663.
- [4] Alderton D.H.M., Pearce J.A., Potts P.J., "Rare earth element mobility during granite alteration: evidence from south-west England", Earth and Planetary Science Letters, 49 (1980) 149-165.
- [5] Haas J. R., Shock E. L., Sassani D. C., "Prediction of high-temperature stability constants for aqueous complexes of the rare earth elements", Geological Society of America Annual Meeting in Boston, Mass. Abs. A437 (1993).
- [6] Wood S.A., "The aqueous geochemistry of the rare earth elements and yttrium: 2. Theoretical prediction of speciation in hydrothermal solutions to 350 °C at saturation water vapor pressure", Chemical Geology 88 (1990) 99-125.
- [7] McLennan S.M., "Rare earth elements in Sedimentary rocks. Influence of provenance and sedimentary processes. In: Lipin, B.R., McKay, G.A.(Eds.)", Geochemistry and mineralogy of rare earth element s. Reviews in Mineralogy, 21 (1989) 169-200.
- [8] Mill R.A., Elderfield H., "Rare earth element geochemistry of hydrothermal deposits from the active TAG Mound, 26°N Mid-Atlantic Ridge", Geochimica et Cosmochimica Acta, 59 (1995) 3511-3524.
- [9] Wilkinson J.J., Eyre S.L., Boyce A.J., "Ore-forming processes in Irish-type carbonate-hosted Zn-Pb deposits: evidence from mineralogy, chemistry and isotopic composition of sulfides at the Lisheen Mine", Economic Geology, 100 (2005) 63-86.
- [10] Aghanbat A., "Geology of Iran, (in Persian)", Geological Survey of Iran, 586 p.
- [11] Winchester J. A., Floyd P. A., "Geochemical discrimination of different magma series and their differentiation products using immobile elements", Chemical Geology 20 (1977) 245-252.

- [35] Rio R., Dupuy C., Dostal J., "Geochemistry of coexisting alkaline and calc-alkaline volcanic rocks from Northern Azarbaijan (NW Iran)", Journal of Volcanology and Geothermal Research, 11 (1981) 253-275.
- [36] Dill H.G., Bosse H.R., Kassbohm J., "Mineralogical and chemical studies of volcanic-related argillaceous industrial minerals of the Central America Cordillera (Western Salvador)". Economic Geology, 95 (2000) 517-538.
- [37] Maiza P. J., Pieroni D., Marfil S. A., "Geochemistry of hydrothermal Kaolin's in the SEarea of Los Menucos, Province of Rlo Negro, Argentina", Clay Odyssey Elsevier, Amsterdam (2001) 123-130.
- [38] Sun S.S., McDonough W.F., "Chemical and isotopic systematics of oceanic basalts: Implications for mantle composition and processes. London", Geological Society, Special Publication, 42 (1989) 313- 345.
- [39] Yang W., Li Sh., "Geochronology and geochemistry of the Mesozoic volcanic rocks in Liaoning: Implications for lithospheric thinning of the North China Craton", Lithos, 102(1-3) (2008) 88-1.
- [40] Giese U., Bau M., Dulski P., "Trace element availability during experimental leaching of mid-ocean ridge basalt at 70°C", Terra Nova, 5 (1993) 54.
- [41] Giese U., Bau M., "Trace element accessibility in mid-ocean ridge and ocean island basalt: an experimental approach", Mineralogical Magazin, 58A (1994) 329-330.
- [42] Armstrong-Altrin J.S., Verma S.P., Madhavaraju J., Lee Y.I., Ramasamy S., "Geochemistry of Late Miocene Kudankulam Limestones", South India. Int Geol Rev 45(2003) 16-26.
- [43] Rollinson H.R., "Using geochemical data: evaluation, presentation, interpretation", Longman scientific and technical publication, (1993) 352 p.
- [44] Cooke D. R., Mcphail D. C., Bloom M. S., "Epithermal gold mineralization, Acupan, Baguio district, Philippines: Geology mineralization, alteration, and thermochemical environment of ore deposition", Economic Geology 243-272(1996)91.
- [45] Reyes A.G., "Petrology of Philippine geothermal systems and the application of alteration, mineralogy to their assessment", Journal of Volcanology and Geothermal Research (1990) 43279-309.
- processes. London", Geological Society, Special Publication, 42 (1989) 313- 345
- [23] Martin H., "Adakitic magmas: modern analogues of Archaean granitoids", Lithos 46(1999) 411-429.
- [24] Rapp R.P., Shimizu N., Miller C.F., "Partial melting of amphibolite/eclogite and the origin of Archean trondhjemites and tonalites", Precambrian Research, 51 (1991) 1-25.
- [25] Wolf M.B., Wyllie O.J., "Dehydration-melting of amphibolite at 10 kbar: the effects of temperature and time", Contributions to Mineralogy and Petrology, 115 (1994) 369-383.
- [26] Zamora D., "Fusion de la croûte océanique subductée: Approche expérimentale et géochimique [Ph.D. thesis]", Clermont-Ferrand, University Blaise Pascal (2000) 314 p.
- [27] Barth M.G., Foley S.F., Horn I., "Partial melting Archean subduction zones: Constraints from experimentally determined trace element partition coefficients between deogitic minerals and tonalitic melts under upper mantle conditions", Precambrian Research, 113 (2002) 323-340.
- [28] Pe-Piper G., Piper D. J. W., Matarangas D., "Regional implications of geochemistry and style of emplacement of Miocene I-type diorite and granite, Delos, Cyclades, Greece", Lithos 60 (2002) 47-66.
- [29] Chappell B.W., White A.J.R., "I- and S- type granites in the Lachlan Fold Belt", Transactions of the Royal Society of Edinburg: Earth Science, 83 (1992) 1-26.
- [30] White A.J.R., Chappel B.W., "Granitoid types and their distribution in the Lachlan Fold Belt, southeastern Australia", Geological Society American Memory,159 (1983) 21-34
- [31] You C.F., Catillo P.R., Gieskes J.M., Chan L.H., Spivack A.J., "Trace element behavior in hydrothermal experiments: Implications for fluid processes at shallow depth in subduction zones", Earth and Planetary Science Letters, 140 (1996) 41-52.
- [32] Jutteau T., Maury R., "Geologie de la croûte océanique, petrologie et dynamique endogènes Paris", Mason, (1997) 367 p.
- [33] Brenan J.M., Shaw H.F., Ryerson F.J., "Exermental evidence for the origin of lead enrichment in convergent -margin magmas", Nature, 378 (1995) 54-56.
- [34] Keppler H., "Constraints from partitioning experiments on the composition of subduction zone fluids", Nature, 380 (1996) 237-240.